

فصل چهارم

عملیات اکتشافی

مطالعات ژئوفیزیک اکتشافی

حفاری اکتشافی

بررسی آماری آنالیز داده ای

عملیات اکتشافی

آنومالی طلا - آنتیموان حسن آباد منتج از آنومالی های اکتشافات سیستماتیک ژئوشیمیائی برگه ۱:۱۰۰۰۰ کدکن می باشد [۱۲]، در فاز مطالعات اکتشاف مقدماتی در منطقه ارغش - حسن آباد طی سال های ۱۳۷۶-۱۳۷۹ علاوه بر شناسایی ۵ محدوده طلدار، محدوده ای نیز بعنوان آنومالی آنتیموان مشخص گردید. به منظور بررسی سطحی رگه تعداد ۲۰ ترانشه بر روی رگه های سیلیسی آنتیموان دار حفر و تعداد ۹۰ نمونه از ترانشه ها برداشت گردید [۱۴] که مقاطع و نتایج آنالیز ترانشه ها در پیوست ۲ آمده است. جهت مطالعات فرآوری به بخش کانه آرایی سازمان زمین شناسی کشور منتقل گردید. نتایج فرآوری نسبتاً مثبت بود بطوری که با انجام تست های مختلف بر روی نمونه هایی با عیار ۱۵ تا ۱۸ درصد آنتیموان با بازیابی حدود ۶۰٪ عیار محصول به ۴۴-۴۳ درصد افزایش پیدا کرد [۱۳]. با اینحال، محدوده مذکور بعنوان یکی از پتانسیل های اکتشافی در مدیریت سازمان زمین شناسی و اکتشافات معدنی کشور مطرح و عملیات اکتشاف عمومی برای آن تعریف گردید.

بمنظور اجرای عملیات اکتشافی در محدوده اکتشافی برای مساحت تقریبی ۱۰۰ هکتار؛ توسط گروه نقشه برداری سازمان، نقشه توپوگرافی در مقیاس ۱:۱۰۰۰۰ تهیه گردید که از آن در تهیه نقشه های زمین شناسی - معدنی در همان مقیاس بهره گرفته شد. در محدوده فوق الذکر برای تهیه نقشه زمین شناسی - معدنی ۱:۱۰۰۰۰ اقدام به تهیه تعداد ۲۶ نمونه پتروگرافی و تعداد ۴ نمونه لیتوژئوشیمیائی از رخمنهای سطحی گردید که شرح آن در فصل قبلی ارائه گردید. همچنین به منظور بررسی عمقی کانسار عملیات اکتشافی ژئوفیزیکی IP-RS نیز توسط گروه ژئوفیزیک سازمان مرکزی با آرایه های مستطیلی و داپل - داپل در مجموع به تعداد ۲۴۹۷ نقطه قرائت انجام شده. با توجه به داده ها صحرایی و نتایج اکتشافات ژئوفیزیکی تعداد ۸ گمانه اکتشافی برای محدوده طراحی گردید که نتایج آن در ادامه ارائه خواهد شد.

۴-۱- مطالعات ژئوفیزیک در محدوده مورد مطالعه

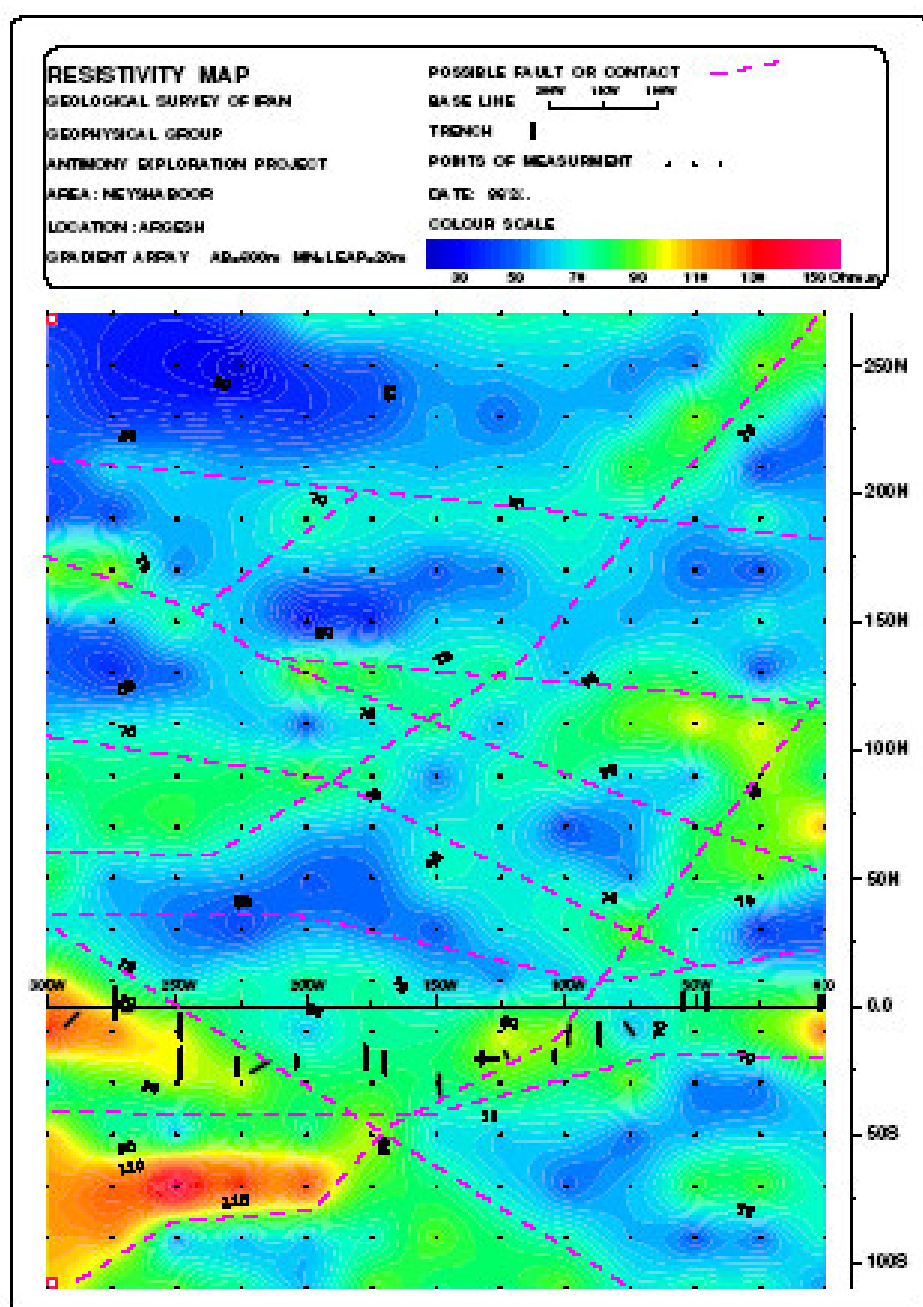
به منظور بررسی عمقی و جانبی محدوده آنتیموان و همچنین ارائه الگوی جهت مراحل بعدی اکتشاف توسط اکیپ ژئوفیزیک سازمان مرکزی، مطالعات و اندازه گیری پارامترهای IP,RS بر روی ۲۴۹۷ ایستگاه انجام پذیرفت.

ابتدا محدوده ای به وسعت 300×380 متر مربع زیر پوشش ارایه مستطیلی قرار گرفت . در این مرحله از عملیات ۲۶ ایستگاه مورد اندازه گیری قرار گرفت . سپس با توجه به نقشه های به دست آمده از ارایه مستطیلی و مشاهدات صحرابی تعداد ۱۱ شبه مقطع با ارایه های داپیل - داپیل (۲ شبه مقطع، ۳۴ ایستگاه) داپیل - داپیل (۸ شبه مقطع مستقیم و معکوس ، ۹۹) و آرایش ونر (یک شبه مقطع، ۱۷۹۷) ایستگاه اندازه گیری و پارامترها قرائت گردید. داده های قرائت شده و اندازه گیری شده توسط نرم افزار RES2DINV مدلسازی و نقشه ها و شبه مقاطع آن ارائه گردید. محدوده مورد مطالعه ژئوفیزیک ابتدا توسط ارایه مستطیلی با پوشش داده شده و با توجه به روند رگه سیلیسی - کربناتی انتیموان دار ، خط مستطیلی با زوایه N57W از پروفیل صفر تا پروفیل ۳۰۰ غربی بر روی رخنمون آنتیموان و در امتداد آن ادامه یافت . بر روی هر پروفیل ایستگاهها از ۱۰ جنوبی تا ۲۸۰ شمالی با زوایه N33E ادامه یافت . فاصله تمامی پروفیل ها از یکدیگر ۲۵ متر و فواصل ایستگاهها ۲۰ متر در نظر گرفته شده . پس از این مرحله ورسم نقشه های شارژ ابیلیته و مقاومت ظاهری و تعیین بی هنجاری که با توجه به نشانه های زمین شناسی بر روی ۶ پروفیل شبه مقاطعی با آرایه های داپیل - داپیل و پل - داپیل برداشت شد.

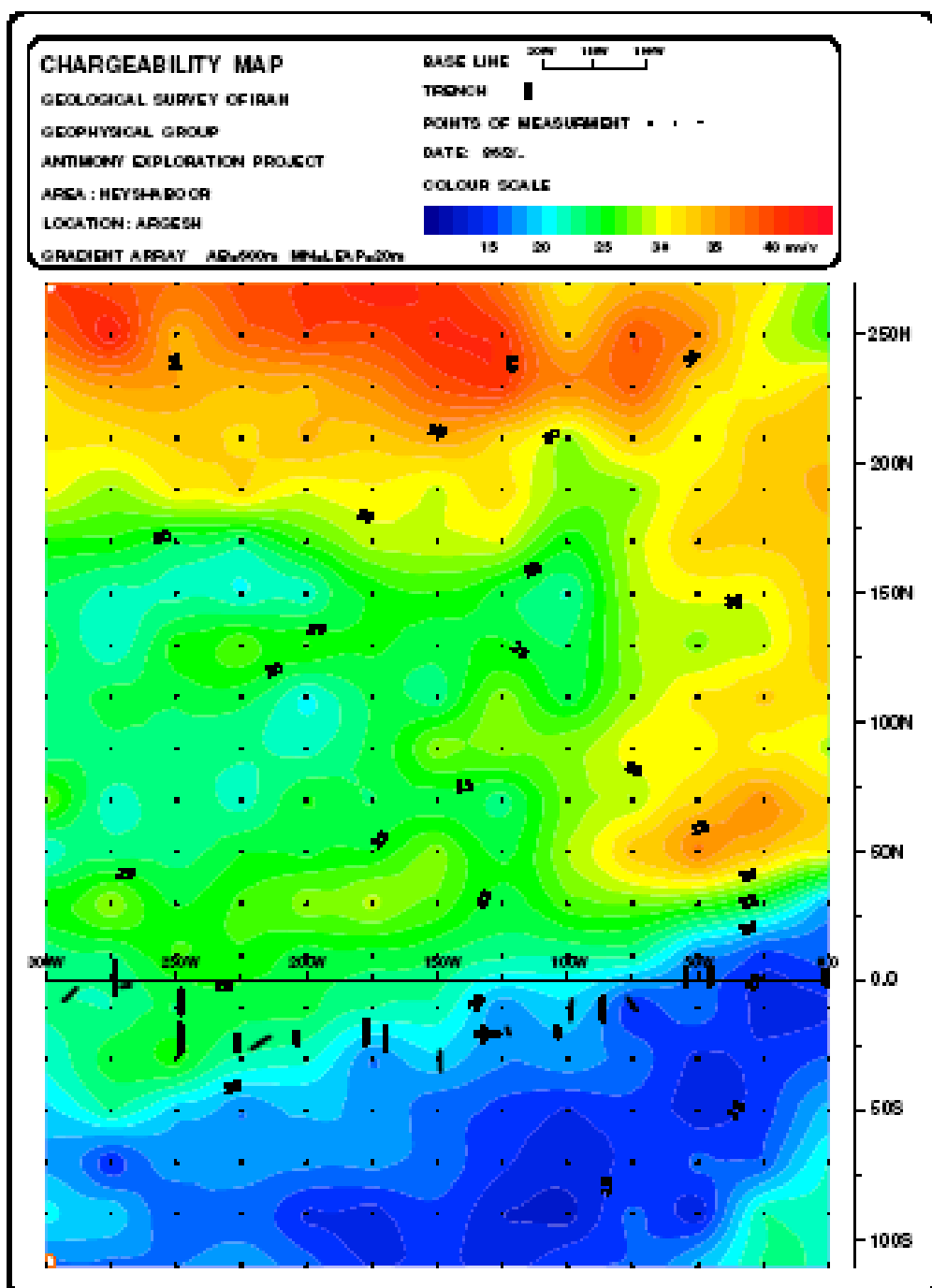
جدول ۴-مشخصات پروفیلهای ژئوفیزیکی برداشت شده در منطقه [۹]

| پروفیل | ایستگاه | X(UTM) | Y(UTM) |
|--------|---------|--------|---------|
| .. | .. | ۶۴۵۱۵۰ | ۳۹۶۷۶۷۶ |
| ۲۵W | .. | ۶۴۵۱۲۹ | ۳۹۶۷۶۹۰ |
| ۵۰.W | .. | ۶۴۵۱۰۶ | ۳۹۶۷۷۰۴ |
| ۷۵W | .. | ۶۴۵۰۸۵ | ۳۹۶۷۷۱۸ |
| ۱۰۰.W | .. | ۶۴۵۰۶۴ | ۳۹۶۷۷۳۳ |
| ۱۲۵W | .. | ۶۴۵۰۴۲ | ۳۹۶۷۷۴۶ |
| ۱۵۰.W | .. | ۶۴۵۰۲۲ | ۳۹۶۷۷۶۰ |
| ۱۷۵W | .. | ۶۴۵۰۰۲ | ۳۹۶۷۷۷۲ |
| ۲۰۰.W | .. | ۶۴۴۹۸۰ | ۳۹۶۷۷۸۶ |
| ۲۲۵W | .. | ۶۴۴۹۶۰ | ۳۹۶۷۸۰۰ |
| ۲۵۰.W | .. | ۶۴۴۹۵۷ | ۳۹۶۷۸۱۳ |
| ۲۷۵W | .. | ۶۴۴۹۱۶ | ۳۹۶۷۸۲۷ |
| ۳۰۰.W | .. | ۶۴۴۸۹۴ | ۳۹۶۷۸۴۰ |

نتایج حاصل از برداشت آرایش های مستطیلی در نقشه های شماره ۱-۴ و ۲-۴ آمده است.



نقشه ۱-۴: نقشه مقاومت ویژه برداشت شده با آرایه مستطیلی محدوده [۹]



نقشه ۴-۱: نقشه شارژیلیته برداشت شده با آرایه مستطیلی محدوده [۹]

از نقشه شارژ ابیلیته می توان نتیجه گرفت که زون کانی سازی احتمالاً در یک زون گسله قرار گرفته است.

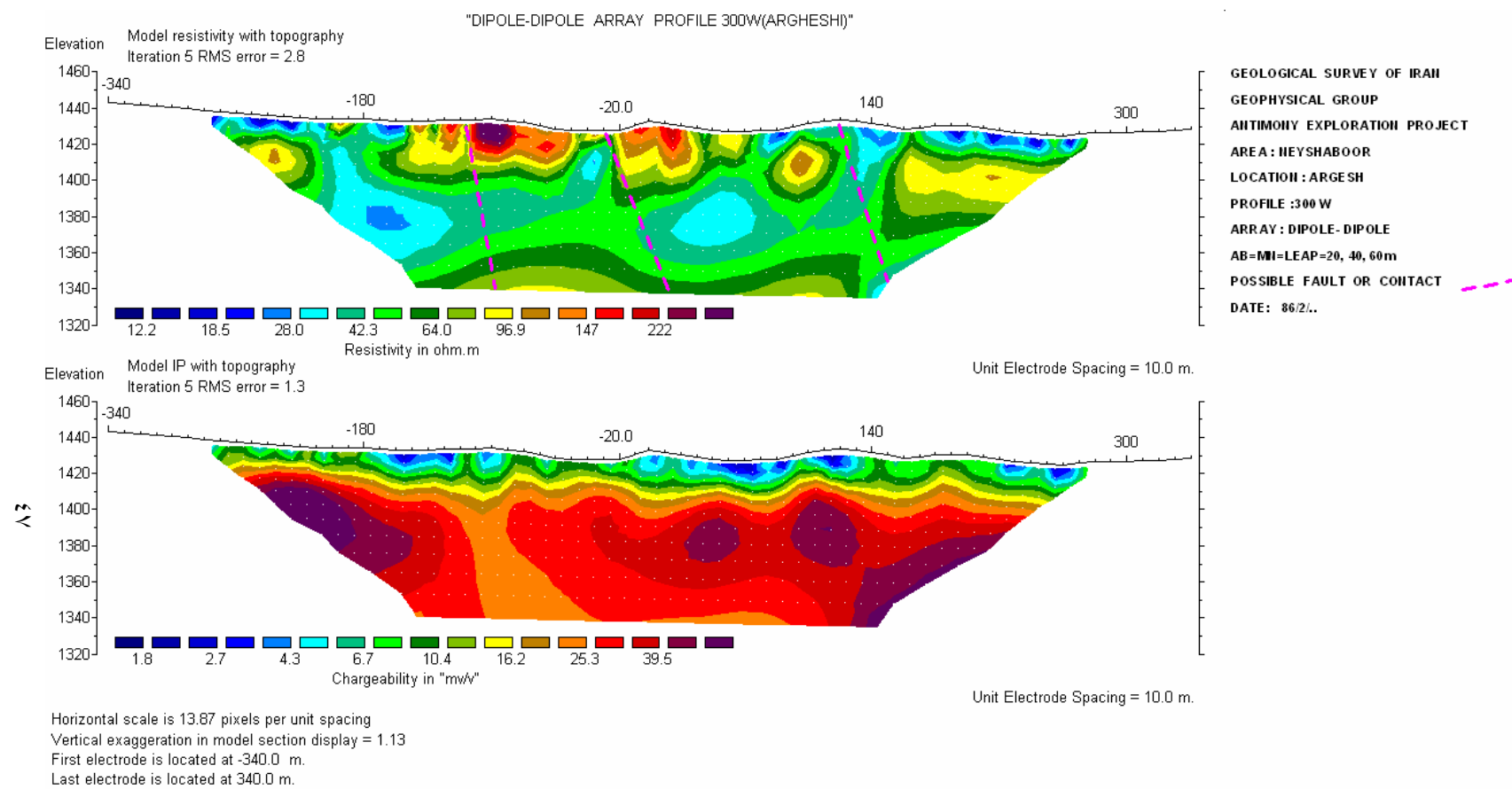
در ادامه مطالعات ژئوفیزیکی و نیز بعلت تصمیم گیری نهایی بر اساس مطالعات آرایه مستطیلی، مطالعات بر روی ۶ شبه مقطع نیز صورت گرفت.

جدول ۴-۲- مشخصات پروفیل های برداشت شده [۹].

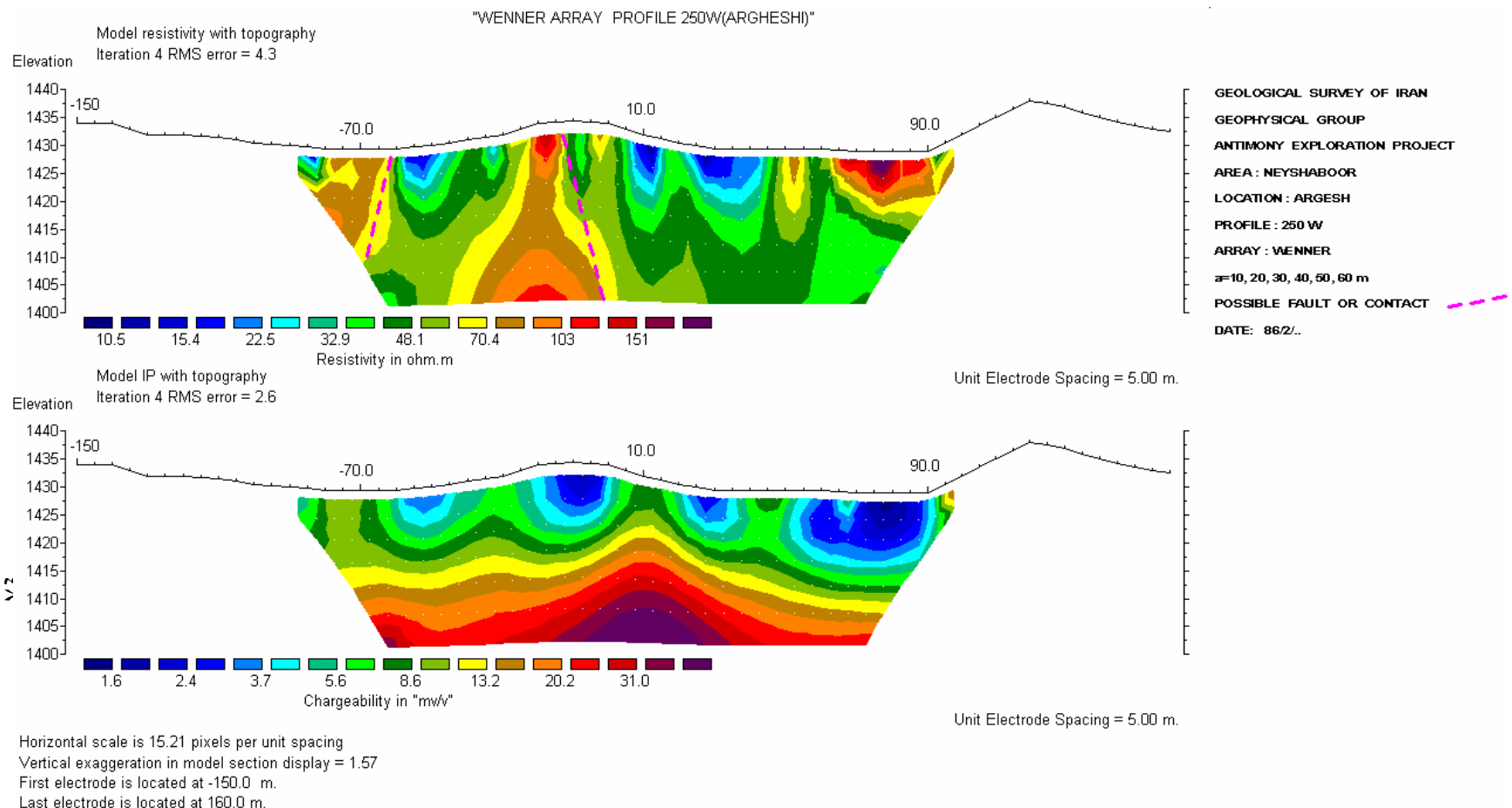
| ایستگاههای برداشت | نام شبه مقطع | نام پروفیل |
|-------------------|--------------|------------|
| ۱۶-N-۱۴-S | D-D-۱ | صفر |
| ۲۳-N-۸-S | P-D-۱ | صفر |
| ۲۳-N-۸-S | P-D-۲ | ۵۰W |
| ۲۳-N-۸-S | P-D-۳ | ۱۰۰W |
| ۴۷-N-۸-S | P-D-۴ | ۱۵۰W |
| ۸-N-۸-S | W-۱ | ۱۷۵W |
| ۲۳-N-۲۱-S | D-D-۲ | ۲۰۰W |

در اشکال ۱-۷ تا ۱-۱۴، شبه مقاطع مدلسازی شده پروفیل ها ارائه گردیده است که نتیجه مدلسازی داده های RS,IP ایده قرارگیری زون کانی سازی در یک زون گسله را تأیید میکنند و نشان دهنده یک زون با شارژ ابیلیته بالا و مقاومت نسبی پائین که عمق آن در بعضی از نقاط از حدود ۱۰ متر تخمین زده می شود، شروع و با توجه به شبه مقطع پروفیل W ۱۵۰ این زون تا عمق حدود ۲۰۰ متری می تواند ادامه داشته باشد که می تواند این ها مشخص کننده زون غنی از سولفور و یا آرژیلیتی حاصل از آندزیتیهای التره شده باشد [۹].

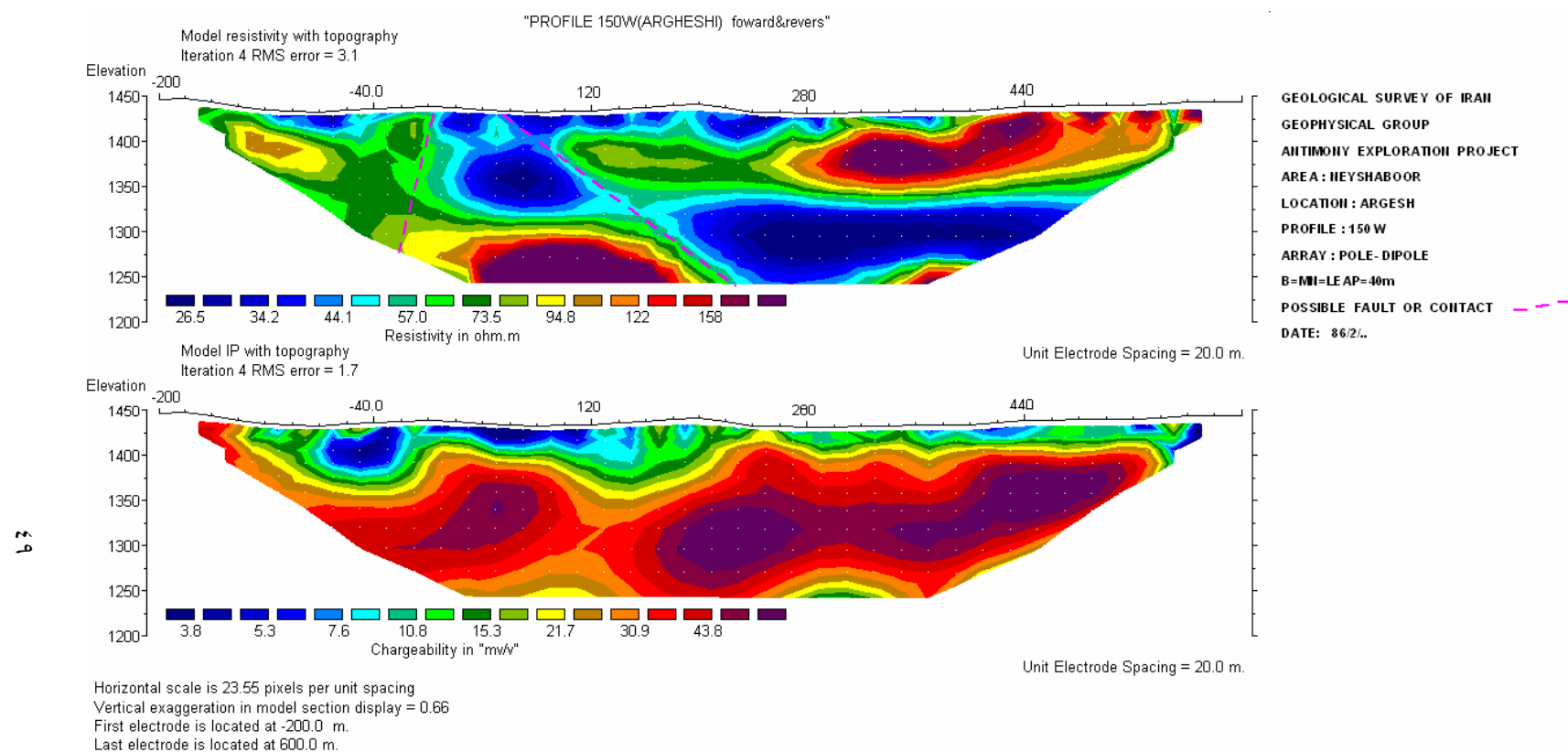
گروه ژئوفیزیک در نهایت پیشنهاد حفاری بر روی پروفیل های W ۱۰۰ و W ۱۵۰ ایستگاه ۱۰ ایستگاه و W ۲۵۰ و W ۳۵۰ ایستگاه ۱۰ را داده است.



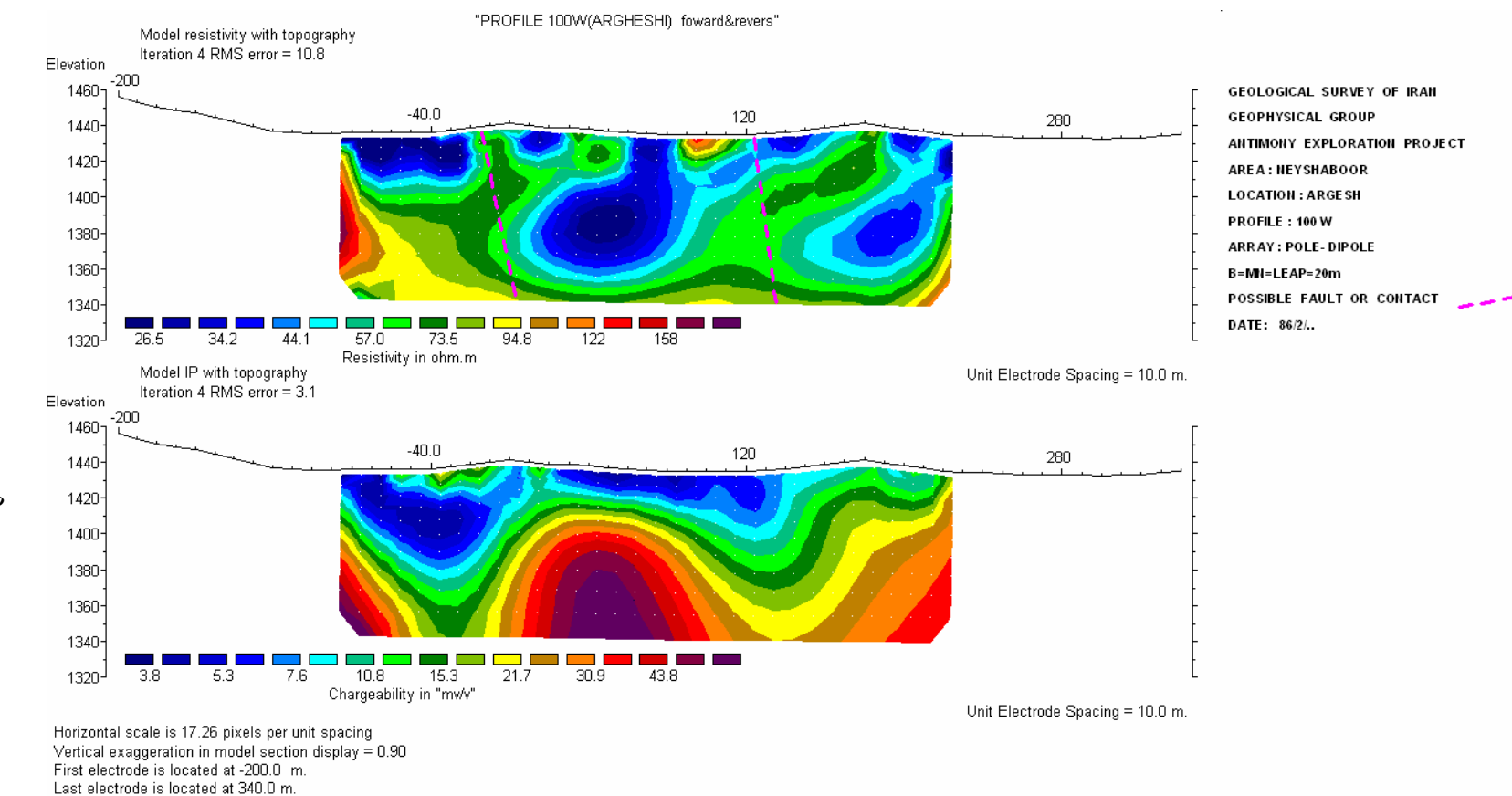
شکل ۴-۱) شبیه مقطع داده های مدل سازی شده پروفیل ۳۰۰ W



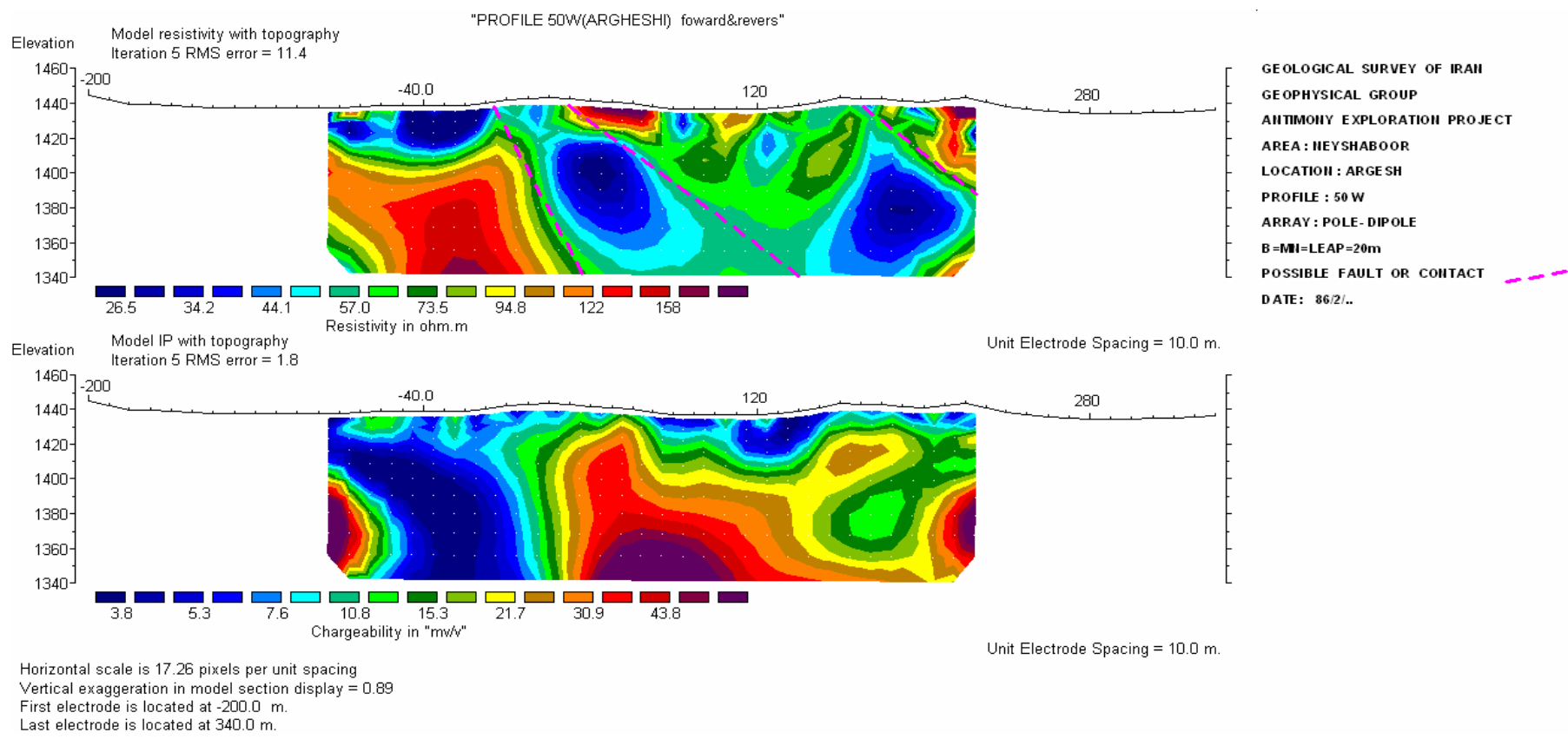
شکل ۴-۲(شبه مقطع داده های مدل سازی شده پروفیل ۲۵۰ W)



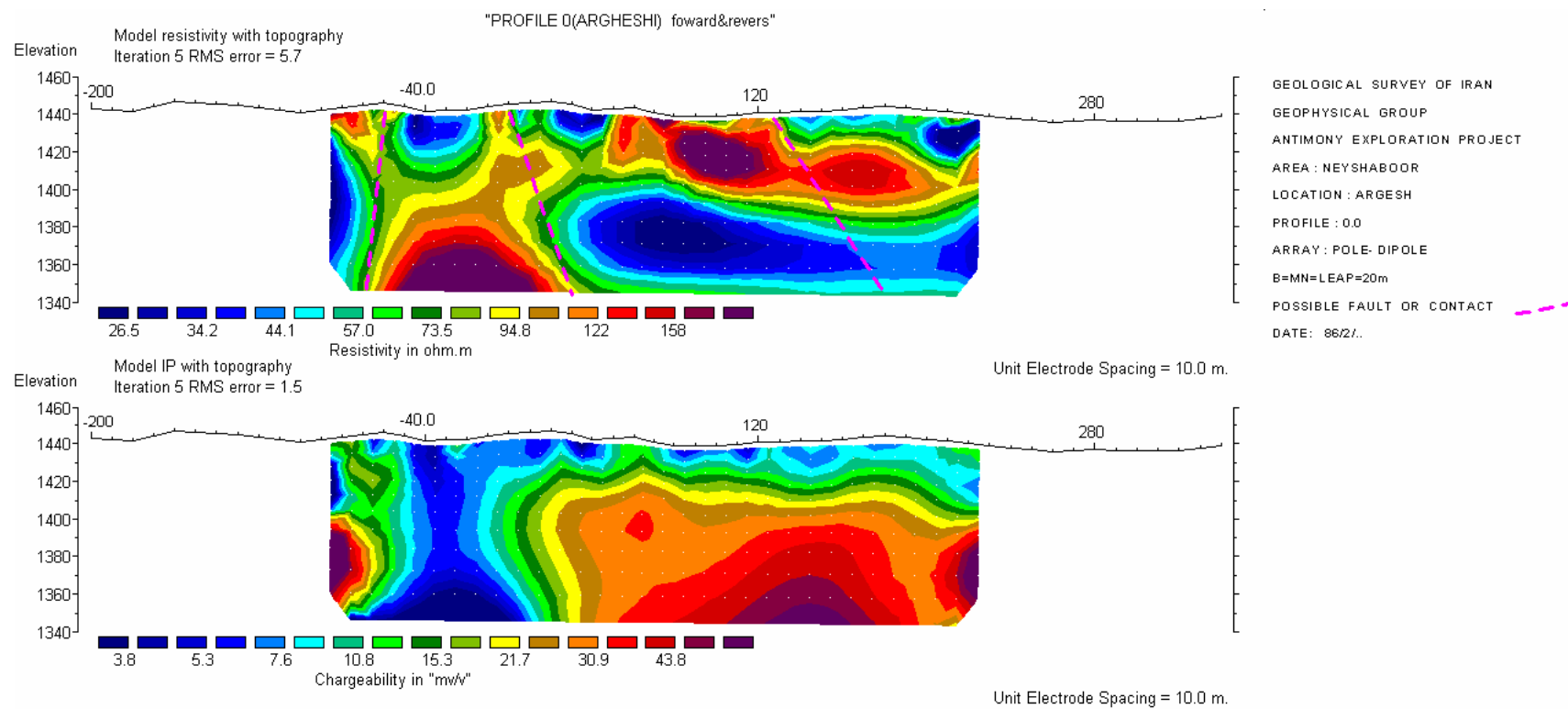
شکل ۴-۳(شبیه مقطع داده های مدل سازی شده پروفیل W ۲۰۰



شکل ۴-۴) شبیه مقطع داده های مدل سازی شده پروفیل W ۱۰۰

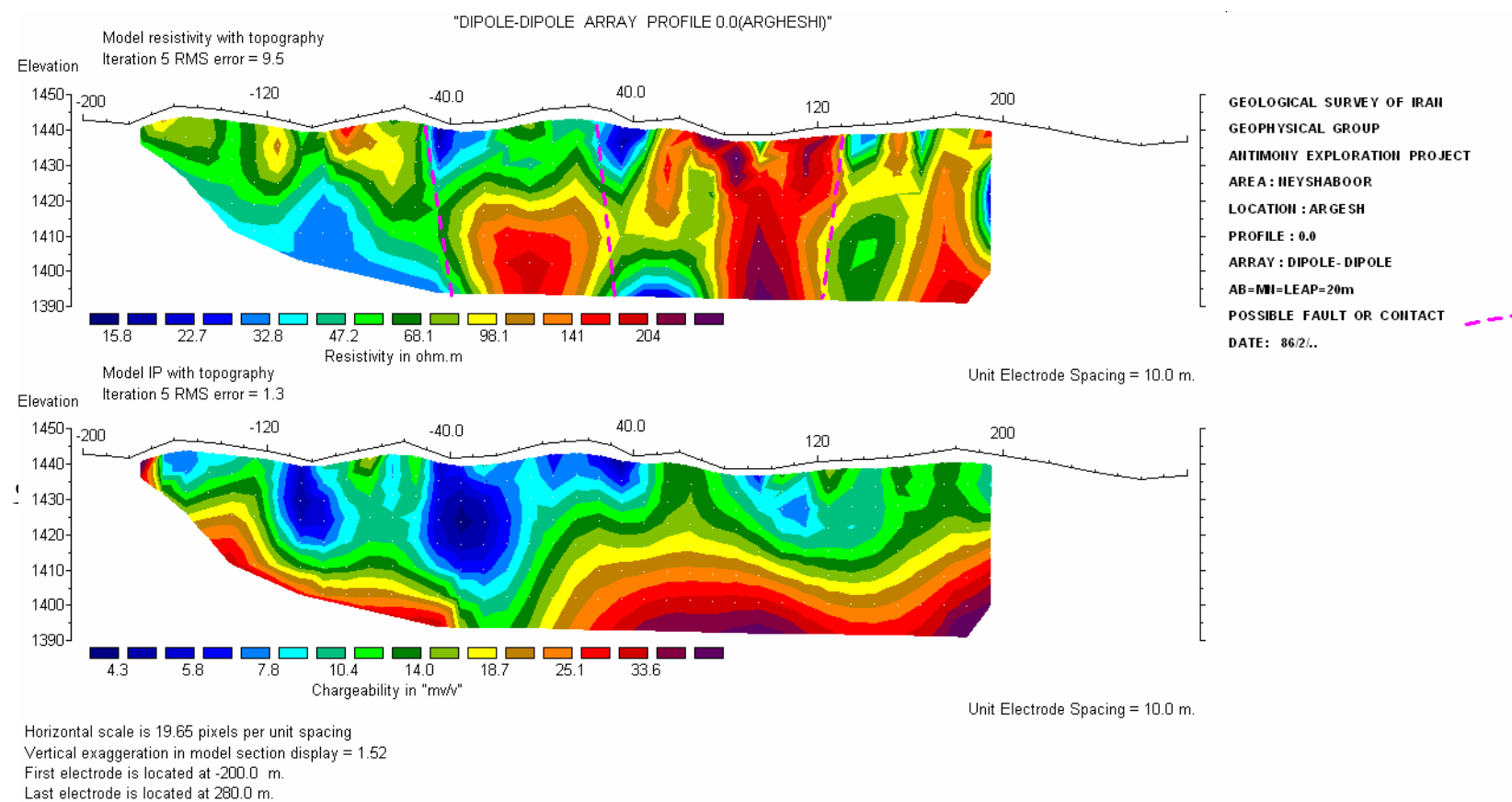


شكل ٤-٥) شبیه مقطع داده های مدل سازی شده پروفیل W ٥٠ پیشرو و معکوس



Horizontal scale is 17.26 pixels per unit spacing
Vertical exaggeration in model section display = 0.89
First electrode is located at -200.0 m.
Last electrode is located at 340.0 m.

شکل ۶-۴) شبیه مقطع داده های مدل سازی شده پروفیل صفر



شکل ۴-۷(شبیه مقطع داده های مدل سازی شده پروفیل صفر

۴-۲- حفاری اکتشافی

پس از تلفیق نتایج داده های ژئوفیزیک اکتشافی و زمین شناسی معدنی و مشاهدات صحرایی تعداد ۶ گمانه اکتشافی طراحی گردید اما بدلیل مشکلات دستگاه حفاری که منجر به جابجائی دو گمانه و در نهایت با احتساب دو گمانه اخیر تعداد ۸ گمانه با کل متراز ۶۷۹ متر در محدوده کانه دار طراحی و حفاری گردید.

در زیر به شرح هر یک از گمانه های اکتشافی می پردازیم:

برای هر گمانه ابتدا عملیات لاکینگ مغزه ها انجام شد سپس با توجه به تغییرات لیتوژئوگرافی و مشاهده زونهای غنی از سولفور، طراحی نمونه برداری صورت گرفت. نمونه برداری نیز بدین صورت بود که ابتدا مغزه ها با دستگاه برش مغزه به دو قسمت مساوی تقسیم گردید. سپس ۵۰٪ مغزه جهت بایگانی در انبار نگهداری می شود و از متراز مشخص شده ۵٪ دیگر نمونه ارسالی به ازمایشگاه نمونه گیری شده و در نهایت تعداد ۳۳۱ نمونه در مرکز خردایش گردید. تعدادی نمونه تکراری نیز از آنها تهیه گردید و برای آنالیز به ازمایشگاه سازمان مرکزی ارسال گردید.

روش آنالیز برای عنصر Al، روش اتحلال در محلول سیانید؛ جذب با کربن اکتیو و اندازه گیری با جذب اتمی و برای دیگر عناصر ICP بوده است. حفاری از نوع رو تاری و مغزه گیری بوده و مشخصات دستگاه حفاری نیز

در جدول ۴-۳ و همچنین شکل ۴-۸ نیز نمایی از نحوه استقرار دستگاه در محل گمانه نشان میدهد. جدول ۴-۴ نیز شامل مشخصات تمامی گمانه های اکتشافی در منطقه اکتشافی می باشد.



شکل ۴-۸: نمایی از دستگاه حفاری Diamac ۲۶۲

جدول ۴-۳- مشخصات دستگاه حفاری

| | |
|---|-------------------------------|
| دستگاه حفاری تمام هیدرولیک Diamac ۲۶۲ Crawler | نام دستگاه |
| شرکت اطلس کوپکو-سوئد-سال ۲۰۰۰ میلادی | شرکت و کشور سازنده |
| متريک - مغزه گيرى الماسه با زاويه ۹۰-۴۵ درجه | سيستم حفاری |
| ۳۴۰۰ کيلوگرم | وزن دستگاه |
| ۲۵۰۰ دور در دقيقه | سرعت روتيشن |
| زنگيري | سيستم حرکتی |
| قطر استاندارد و عمق حفاری | |
| ۱۰۰ متر | حفاری با سایز AQ (۴۶ میلیمتر) |
| ۶۰۰ متر | حفاری با سایز BQ (۶۰ میلیمتر) |
| ۴۵۰ متر | حفاری با سایز NQ (۷۶ میلیمتر) |

جدول ۴-۴- مشخصات گمانه های حفر شده در منطقه

| تعداد نمونه ها | | | عمق (m) | زاويه حفاری | آزيموت | ايستگاه | پروفيل ژئوفيزيکي | مختصات جغرافيايي (UTM) | | شماره گمانه |
|----------------|------|-------|---------|-------------|--------|---------|------------------|------------------------|--------|-------------|
| آناليز | نازك | صيقلى | | | | | | Y | X | |
| ۳۸ | ۸ | ۴ | ۶۰ | ۲۰-NW | ۲۹۰ | ۱۱-S | ۲۷۵ | ۳۹۶۷۷۷۳۰ | ۶۴۴۸۶۰ | ۱ |
| ۴۶ | ۴ | ۲ | ۷۳ | ۲۰-SW | ۲۲۰ | ۵-N | ۲۵۰ | ۳۹۶۷۸۵۶ | ۶۴۴۹۶۶ | ۲ |
| ۲۴ | ۳ | ۳ | ۷۵ | ۲۰-SW | ۲۲۰ | ۴-N | ۲۰۰ | ۳۹۶۷۸۲۰ | ۶۴۵۰۰ | ۳ |
| ۴۹ | ۷ | ۳ | ۸۶ | ۲۰-SW | ۲۲۰ | ۴-N | ۱۵۰ | ۳۹۶۷۷۹۲ | ۶۴۵۰۴۴ | ۴ |
| ۱۵ | ۴ | ۲ | ۵۷ | ۲۵-NE | ۴۰ | ۲-S | ۱۰۰ | ۳۹۶۷۷۱۲ | ۶۴۵۰۵۸ | ۵ |
| ۴۸ | ۶ | ۱ | ۹۶ | ۲۰-NE | ۴۰ | ۵-S | ۱۵۰ | ۳۹۶۷۷۲۰ | ۶۴۵۰۰ | ۶ |
| ۱۸ | ۸ | ۲ | ۷۰ | ۲۰-NE | ۴۰ | ۳-S | ۱۵۰ | ۳۹۶۷۷۳۵ | ۶۴۵۰۰۷ | ۷ |
| ۸۱ | ۱۲ | ۳ | ۱۶۳ | ۱۵-SW | ۲۲۰ | ۱۴-N | ۱۵۰ | ۳۹۶۷۷۹۲ | ۶۴۵۰۴۵ | ۸ |
| ۳۱۹ | ۵۲ | ۲۰ | ۶۷۹ | جمع کل | | | | | | |

گمانه BHI

این گمانه اکتشافی در موقعیت (۳۹۶۷۷۳۰ و ۶۴۴۸۶۰) با امتداد NE ۲۰ و شیب ۶۰ متر حفاری گردید. از گمانه فوق در مجموع تعداد ۵ نمونه اخذ گردید که مشخصات آنها در جدول ۴ پیوست آمده است.

در جدول ۱ پیوست اطلاعات کامل از وضعیت مغذه های حفاری در گمانه شماره BH1 و نیز شکل ۴-۵. لاینگ گمانه مذکور را نشان میدهد. نتایج آنالیز گمانه نیز در پیوست آمده است. حداکثر عیار طلای بدست آمده در این گمانه مربوط به نمونه شماره ۱۴ با ppm ۳۰۰ بوده و بیشترین مقدار انتیموان اندازه گیری شده هم به نمونه شماره ۷ با ۸۵٪ می باشد (جدول ۲ پیوست). در جداول ۳ و ۴ پیوست نیز مشخصات نمونه های مقطع نازک و صیقلی گمانه مذکور ارائه گردیده است.

از گمانه مذکور تعداد ۴ نمونه جهت مطالعات مقاطع صیقلی انتخاب گردید (جدول ۴ پیوست) کانی فلزی مشاهده شده در مقاطع این گمانه پیریت بوده که با چشم غیر مسلح هم مشاهده شده است. پیریت بصورت کریستال های اتومورف و نیمه اتومورف تحت تاثیر ۲ فاز جداگانه تشکیل گردیده است. وضعیت قرار گیری ذرات پیریت تابع فضاهای مناسب در گانگ، رگه های ظریف و شکستگی ها است درصد فراوانی پیریت در سطح مقاطع مورد مطالعه از ۵٪ تا ۲۵٪ متغیر است. بافت کانی سازی فلزی open space است.

GEOLOGICAL LOG OF BORE HOLE N0.1 IN HASAN ABAD DEPOSIT

INCLINATION : 20NW
ORIENTATION : N20E
TOTAL DEPTH : 60M

X : 644860
COORDINATE Y : 3967730
Z : 1430
DRILLING COMPANY : KHATAM
DRILLING METHOD : ROTARY

| DEPTH (m) | SYMBOL | LITHOLOGY | DESCRIPTION |
|-----------|--------|-------------------------------------|---|
| 0.0 | | DEBRIS | مخلوطی از فشر هوارده و اریزه های واحد های اطراف |
| 5.0 | | QUARTZ FELDSPAT WITH ALTERATED TUFF | کوارتز-فلدسبات با رگه هایی از گوئینت و هالوبیت |
| 10.0 | | CLAY AND SILT | سیلک و رسن |
| 15.0 | | QUARTZ FELDSPAT | کوارتز و فلدسبات که شکستگی آن به اکسیدهای آهن (گوئینت و هالوبیت) آشکنگی داشته و در فسمهولی نیز به شدت آبزدی شده است |
| 20.0 | | LAPILY TUFF | لایپلی توف با کالکو لایه ای اولویه کوارتز-فلدسبات بک پلاز-وکلارزو کالکو هایی کلوفوره از زیر سرس (ک) و ابردودت |
| 25.0 | | TUFF & PYRITE | کوف خلکسٹری با ابربرت خطی ریزدانه بصورت رگه های متن الایخ |
| 30.0 | | QUARTZ-FELDSPATIC & VEINLET SULFIDE | کوف و کوارتز-فلدسبات حلوی رگه های سولفید |
| 35.0 | | TUFF SAND STONE | کوف ملبه ای با ختمات بیگانه که غلاماسیسی بوده و رگه هایی متن الایخ سولفیدی نیز در آن مشاهده می شود |
| 40.0 | | GRANITE | گرانیت حلوی دانه هایی ریز سولفیدی که مقدار آن نسبت به واحد های فلزی کمتر است |
| 45.0 | | | |
| 50.0 | | | |
| 55.0 | | | |

DATE COMPLETED :1386

MINING GEOLOGIST : R.B.RACHER ZADEH M.JAFARIL

شکل ۴-۵ - لاینگ مغزهای گمانه BH

گمانه BH2

گمانه BH2 در محل پروفیل شماره ۲۵۰. ژئوفیزیکی و ایستگاه N۵۰ با امتداد W۵۰ و شیب ۲۰ SW به متراژ ۷۳/۲ متر حفر گردید. مشخصات نمونه های اخذ شده از مغزه های حفاری در این گمانه در جدول ۴-۴ آمده است. نتایج آنالیز نمونه های حاصل از این گمانه نشان از وجود پائین عیار طلا در گمانه مذکور می باشد. همچنین که لاجینگ مغزه های حفاری و نیز مقطع صیقلی وجود پیریت در آن فراوان است ولی عیار طلا در قابل توجه نمی باشد و حداقل نزدیک به ۰/۲ ppm و همچنین آنالیز عیار Sb نیز پائین است.

مشخصات نمونه های پتروگرافی گمانه شماره ۲ نیز در جدول ۳ پیوست آمده است. همچنین لاجینگ گمانه نیز در شکل ۴-۶ نمایش داده شده است.

از گمانه مذکور تعداد ۲ نمونه جهت مطالعات مقاطع صیقلی انتخاب گردید (جدول ۴ پیوست) کانی های فلزی مشاهده شده در مقاطع این گمانه پیریت، کالکوپیریت و اسفالریت آهن آبدار (هماتیت) می باشند. پیریت بصورت رکچه های ظریف و قابل رویت با چشم غیر مسلح است در مقاطع این گمانه دونوع پیریت مشاهده می گردد: ۱- پیریت اتومورف و نیمه اتومورف حرارت بالا ۲- پیریت ریز و نئوفورمه با فرم کلوئیدی حرارت پایین مجموع درصد فراوانی پیریت در سطح مقطع مورد مطالعه در حدود ۵۵ درصد است. اسفالریت همراه کالکوپیریت و پیریت کانی سازی دارد و بصورت کریستالهای نیمه اتومورف بابعاد ۵۰-۶۰ میکرون مشاهده می شود. درصد فراوانی تقریبی اسفالریت و کالکوپیریت ۱۲ درصد در سطح مقطع را دارد. هماتیت به میزان کم و محدود در حواشی و اطراف پیریت مشاهده می گردد. درصد فراوانی هماتیت در سطح مقطع مورد مطالعه در حدود ۳ درصد است.

بافت کانی سازی فلزی open space است.

GEOLOGICAL LOG OF BORE HOLE NO.2 IN HASAN ABAD DEPOSIT

INCLINATION : 20SW
ORIENTATION : N50W
TOTAL DEPTH : 73.2M

X : 644966
COORDINATE Y : 3967856
Z : 1431
DRILLING COMPANY : KHATAM
DRILLING METHOD : ROTARY

| DEPTH (m) | SYMBOL | LITHOLOGY | DESCRIPTION |
|-----------|--------|------------------|---|
| 0.0 | | DEERIS | واریزه |
| 10.0 | | QUARTZ FELDESPAT | کوف آهکی - آٹک |
| 10.0 | | TUFF | |
| 10.0 | | CEMENT | |
| 10.0 | | TUFF&QUARTEZ | مخلوط کوف با کمی ظلائق کوارتز فلزیک شدید خرد شده با الوگلکس بدھای آهن و در حد متوسط کلولوئی - ارزطی شده |
| 20.0 | | LIMESTONE | آهک لکسٹری کمی ملسه ای الوگی اکسیدهای آهن آبدار صورت ریگه ای نسبد بقلطخ و کمی نیز در منن سنگ |
| 20.0 | | GRANITE | |
| 30.0 | | SANDY LIMESTONE | فلزیک الکتر اس-بون متوسط ارزطی و با آلوگی اکسیدهای آهن آبدار گرانیت نکونیزه |
| 30.0 | | GRANODIORITE | آهک ملسه ای |
| 40.0 | | SANDY LIMESTONE | گرانودیوریت - گرانیت اکسید آهن بصورت رگجه های برآک ده |
| 40.0 | | MUD STONE | آهک ملسه ای تغیریاب قفن نافروهه ای رنگ ریز دانه بادانه های کاسیت سفید رنگ برآکده در منن سنگ |
| 40.0 | | GRANITE | |
| 40.0 | | QUARTZ FELDESPAT | ملن - ملن آهکی |
| 50.0 | | TUFF SAND STONE | گرانیت ریز دانه بادانه و شکستگی متوسط و مناخ حلولی لیمونیت و هلیٹ کوارتز خورد شدنی در حد متوسط |
| 50.0 | | BRECCIA | فلزیک کوارتز، خورد شدنی کمی متوسط نازیلا بارگجه های مناخ از اکسید آهن در بصیری خفرات بایر شدنی کلسبت |
| 60.0 | | DACITE | کوف سطیحی بارگجه های متعددی از سولفید (پیریت، کلکو پیریت، کل) به مقادیر طبیعی کم در منن سنگ هزاره با کمی اکسید های آبدار سجاہرنگ |
| 70.0 | | | بر من سطیحی آهکی، کائوف سطیحی آطليات درین انداره مخلفه از حادفان ۱ میلیون تر کا اکثر سالینتر رگجه های سجاہرنگ متعددی از اکسیدهای آهن سولفید و سولفید ار کلس سقیرنگ |
| 70.0 | | | سنگ های ولکلیکی بارگجه های سجاہرنگ متعددی از کلیه ای تیره و اطراف رکویه هادر منن سنگ نیز کلی سلاری سولفیدهای بصورت برآکده مشاهده می شود |

DATE COMPLETED :1386

MINING GEOLOGIST : R BACHEE ZADEH M JAFARI

شکل ۶-لاگینگ گمانه BH۲

BH³ گمانه

گمانه شماره ۳ بر روی پروفیل ژئوفیزیکی ۲۰۰ و ایستگاه جغرافیایی N.۴.با مختصات جغرافیایی ۳۹۶۷۸۲۰ و ۶۴۵۰۰ حفر شده است. در این موقعیت نیز آثار کانی سازی استیبنیت در ترانشه مشاهده می شود و لذا بر اساس مشاهدات صحرابی و نیز نتیجه داپل شماره D-D۲ و همچنین آرایش مستطیلی ژئوفیزیکی طراحی و حفر گردید. از این گمانه مجموعاً ۲۸ نمونه آنالیز شیمیائی، سه مقطع نازک و سه نمونه مینرالوگرافی و یک نمونه نیز جبیت XRD از مغزه ها اخذ گردید.

جدول ۱ تا ۴ پیوست مشخصات آنالیز شیمیائی؛ پتروگرافی و مینرالوگرافی نمونه های گمانه مذکور آمده است و لاجینگ آن نیز در شکل ۴-۷ ارائه شده است. در این گماه نیز افق سولفور نیز یافت می شود ولی همانند گمانه های قبلی عیار طلا و انتیموان چندان قابل توجه نمی باشد و حداکثر عیار آن ۲۳۰ ppb می باشد. نتایج مطالعه مقطع صیقلی از این گمانه هم وجود کانی های پیریت؛ کالکوپیریت و هماتیت را تایید می نماید که مشخصات کانی های گمانه ۲ را دارا هستند.

BH⁴ گمانه

گمانه ۴ BM بر روی پروفیل شماره ۱۵۰ بر ایستگاه N.۴ ژئوفیزیکی به مختصات ۳۹۶۷۷۹۲ و ۴۴۵۰۴۶ به متراز کلی ۸۶ متر حفر گردید در سطح زمین در ترانشه حفر شده در این پروفیل نیز در داخل شکافهای رگه سیلیسی نیز آثار استیبنیت مشاهده می شود. از این گمانه مجموعاً تعداد ۰۴ نمونه جبیت آنالیز ژئوشیمیائی عناصر، ۷ نمونه جبیت مطالعات پتروگرافی و سه نمونه جبیت مطالعه مینرالوگرافی و یک نمونه نیز جبیت مطالعات کانی شناسی انتخاب گردید (جدول ۱ تا ۴ پیوست).

با توجه به نتایج آنالیز عناصر که ملاحظه می شود که حداکثر عیار طلا در این گمانه ۸۵. PPb مربوط به نمونه ۳۱ میباشد. در مطالعه ۲ مقطع صیقلی این گمانه وجود پیریت؛ هماتیت و تعداد انگشت شماری کانی روتبیل گزارش گردیده است.

شکل ۴-۸ لاجینگ مغزه های حفاری گمانه فوق را نشان میدهد.

GEOLOGICAL LOG OF BOREHOLE NO.3 IN HASAN ABAD DEPOSIT

| | | |
|---------------|------|---------------------------|
| INCLINATION : | 20SW | X : 645000 |
| ORIENTATION : | N50W | Y : 3967820 |
| TOTAL DEPTH : | 75M | Z : 1434 |
| | | DRILLING COMPANY : KHATAM |
| | | DRILLING METHOD : ROTARY |

| DEPTH (m) | SYMBOL | LITHOLOGY | DESCRIPTION |
|-------------|--------|-----------------|--|
| 0.0 | | DEBRIS | واریزه |
| 0.0 - 1.0 | | MICROGRANIT | بدون میکروگرانیت خرد شده و کسی هواز دگی با اکسید آهن بدون کلی ساری |
| 1.0 - 10.0 | | TUFF | کوف سلسی در برخی فسنهای اندگ ساری شدید هراز بارگاه |
| 10.0 - 20.0 | | MICROGRANIT | های مندرجی از سبلین تلوره خاکستری رنگ و مقاصلخ در ۲ متر ازهای دارای اکسیدهای آهن ایجاد |
| 20.0 - 30.0 | | LIMESTONE | میکروگرانیت، خرد شدی اندگ ساری های ظرف و اندک از سبلین و اکسید آهن |
| 30.0 - 40.0 | | SANDY LIMESTONE | برون پیشتر دارای دانه و سبلان آهکی، دانه های اندک از میکرولیتر کا نیزگذشت از سلیمانیت در بخش هایی اندکی دارای پیویست نس زیلان در بعضی جاهای کلبهای گوتیت و هالیت نیز هویدا است |
| 40.0 - 50.0 | | MARBLE | |
| 40.0 - 50.0 | | SANDY LIMESTONE | سنگ آهک ناحدودی ملکه ای خلکستری رنگ ناقفرمز (چاهای حلوی اکسید آهن تلوره پیشتر هلاکت) هالیت، خرد شدی سنگ متوسط |
| 40.0 - 50.0 | | GRANITE | منهربت بدون کلی ساری خرد شدی سنگ متوسط |
| 50.0 - 60.0 | | LIMESTONE | آهک ناقیباً پوشی هراز با کسی آندزیت آفره شده با سطح گسل بدون کلی ساری و اولوگی آهن |
| 50.0 - 60.0 | | GRANITE | گراینر باشکنگی های بر شده با کریستال و اکسید آهن |
| 60.0 - 70.0 | | |) آهک خلکستری روشن بادانه های سبلان کوچک از سولفیدها پیریت و کالکو پیریت پراکنده در سطح و مکان سنگ و کسی نیز در رنگ های ظرفی بدون اکسید آهن |
| 70.0 | | BRECCIA | بخش های گوارنر طاس دیک ناسلسی و کسی درات آهکی بارگاه های شدیداً فراوانی از گوارنر سلیمانی که اندک کربنات کسی میباشد هراز با کلی ساری کله های من عرضه رنگی ها از کشتر از میکرولیتر ناحداکثر ۲ سلیمانیت در بعضی مواضع کلی ساری رنگ جگری رنگی مشاهده شوند. کلی ساری من به صورت دانه های کوچکی در مکان سنگ نیز قابل مشاهده است |
| | | | برون سلسی و لک لکی سافت لک با ایلام مختار دارای رگره های سبکاً لامل نوجوه ای از گوارنر سلیمانی هراز با کله های سولفیدی عمدها پیریت کالکو پیریت و احمدالبورنیت فلات اکسیدهای آهن خرد شدی کم دگرسانی صور |

DATE COMPLETED : 1386

MINING GEOLOGIST : R.BAGHER ZADEH-M.JAFARI

شکل ۴-۷-لاگینگ گمانه ۳ BH۳

GEOLOGICAL LOG OF BORE HOLE NO.4 IN HASAN ABAD DEPOSIT

| | | | |
|---------------|------|--------------------|---------|
| INCLINATION : | 20SW | X : | 645044 |
| ORIENTATION : | N50W | COORDINATE Y : | 3967792 |
| TOTAL DEPTH : | 86M | Z : | 1437 |
| | | DRILLING COMPANY : | KHATAM |
| | | DRILLING METHOD : | ROTARY |

| DEPTH (m) | SYMBOL | LITHOLOGY | DESCRIPTION |
|-----------|--------|---|---|
| 0.0 | | DEBRIS GRANITE | واریزه کوارن، فلسفیت المتره شده گرانیت ها |
| 10.0 | | MICROGRANIT | میکروگرانیت اندوبوریت با الودگی اکسید آهن آبدار |
| 20.0 | | TUFF SAND STONE BRECCIA DACITE QUARTZ | پشت‌های شدیداً سطیحی که‌ی آهکی - گوف روبلری خلاصتی رنگی با المتراس چون خاکی بیف این‌نیزه برش هیدروژنمایی پارگه های کالی اکسیده آهن آبدار با سیمان آهکی ایجاد دانه ای از جند مولیٹر کا ۵-۴-۳ لائمکر رگه ای ... مقلای |
| 30.0 | | TUFF&QUARTEZ | داشت |
| 40.0 | | QUARTZ FELD ESPAT+ ALTERATE TUFF | برش سیلیسی - کوارن ریز دانه الودگی آهن متوسط بزون گسله، صیورت برانکده سولفید کالکو بیربت - لیموترت، بیربت (مشاهده میشود) |
| 50.0 | | TRACHY ANDESITE | کوف سیلیسی خلاصتی حلوی بیربت همراه با باکالکو بیربت برنده - هملوست - مگنتیت صیورت رگه ها و برانکده در متن - سنگ می باشد |
| 60.0 | | GRANODIORITE | واحد کوارن - فلاس جلیک - بادگرس لای در حد متوسط ارزبلری کراکی آذرزیت خلاصتی رنگ که با کلیولز لای منعکسی از سولفیدهای سیلر ریز دانه در متن و داخلی رگه ها |
| 70.0 | | | |
| 80.0 | | | |

DATE COMPLETED :1386

MINING GEOLOGIST :R.BAGHER ZADEH-M.JAFARI

BH4-۸-لاگینگ گمانه

گمانه شماره BH5:

این گمانه بر روی پروفیل ۱۰۰ و ایستگاه ۲۰S ژئوفیزیک به مختصات ۳۹۶۷۷۱۲ و ۴۵۰۵۸ به عمق ۵/۵۶ متر حفر گردید. مشخصات نمونه های اخذ شده از این گمانه در جدول ۴-۴ آمده است. از این گمانه نیز در مجموع ۱۶ نمونه جهت آنالیز عناصر، چهار نمونه جهت پتروگرافی و دو نمونه نیز جهت مطالعات مینرالوگرافی و یک نمونه نیز جهت مطالعات کانی شناسی اخذ گردید.

نتایج مطالعات و آنالیز نمونه های گمانه اخیر در جدول ۱ تابع آمده است. حداقل عیار Sb مشاهده شده در این گمانه مربوط به نمونه شماره ۱۰ و مقدار آن نیز در حدود ۱/۸٪ می باشد. شکل ۴-۹ نتایج لگینگ مغزه های حفاری این گمانه را نشان میدهد. وجود کانی های پیریت، کالکوپیریت و استینینیت و کریستال های کوچک کوولیت در مقاطع صیقلی این گمانه گزارش گردیده است. کالکوپیریت بصورت ذرات ریز در داخل پیریت مشاهده می گردد. بعد از ذرات کالکوپیریت ۵-۲۰ میکرون است. تجمع کریستال های نسبتاً درشت استینینیت لکه های درشت تری را ایجاد کرده است که در نمونه دستی با چشم غیر مسلح در اندازه حدود ۱ سانتی متر دیده می شوند. اندازه بلورها مابین ۲۰ میکرون الی ۲ میلی متر متغیر می باشد. این کانی حدود ۱۰ درصد مقطع را به خود اختصاص داده است.

گمانه شماره BH6:

این گمانه نیز بر روی پروفیل ۱۵۰ و ایستگاه ۵S ژئوفیزیکی به مختصات ۳۹۶۷۷۲۰ و ۴۵۰۰۰ به متراز ۲۰/۷۹۵ حفر گردید. در ترانشه حفر شده بر روی این پروفیل نیز آثار استینینیت در حفرات و گاهی تا ضخامت ۸ سانتیمتر بخوبی مشاهده گردید اما هر چند در عمق زون سیلیسی نیز قطع گردید اما آثار استینینیت مشاهده نگردید. از این گمانه نیز در مجموع تعداد ۸ نمونه آنالیز، شش نمونه پتروگرافی و یک نمونه مینرالوگرافی و یک نمونه هم جهت مطالعات کانی شناسی اخذ گردید. در یک نمونه تهیه شده جهت مطالعه مقطع صیقلی وجود پیریت و کریستال هایی از روتیل گزارش گردیده است. نتایج آنالیز و مطالعات نمونه های گمانه اخیر در جداول ۱ تا ۴ پیوست آمده است. نتایج لگینگ نیز در شکل ۴-۱۰ نشان داده شده است.

GEOLOGICAL LOG OF BORE HOLE N0.5 IN HASAN ABAD DEPOSIT

| | | | |
|---------------|-------|--------------------|---------|
| INCLINATION : | 25NE | X : | 645058 |
| ORIENTATION : | N50W | COORDINATE Y : | 3967712 |
| TOTAL DEPTH : | 56.5M | Z : | 1438 |
| | | DRILLING COMPANY : | KHATAM |
| | | DRILLING METHOD : | ROTARY |

| DEPTH (m) | SYMBOL | LITHOLOGY | DESCRIPTION |
|-----------|--------|---------------------------------|---|
| 0.0 | | DEBRIS | وارزه |
| | | QUARTZ FELDESPAT | کوارنز و فلدوبلک المتره شده گرانیت ها |
| 10.0 | | MICROGRANIT | گرانیتی ای التره شده و آتش دگی اکسید آهن در خود داشت |
| | | QUARTZ FELDESPAT+ ALTERATE TUFF | آهنه متوسط آنژیتی کهی کلولایی |
| | | BRECCIA | خش های شدیداً سیلیسی کهی آهکی - کوف رویلری خلاک تری |
| 20.0 | | MICRODIORITE | برزن هیدروفرمیالی بارگیره های کلیپس اکسید آهن آبدار با سیمان |
| | | | آهکی ابولا دانه ها از چند میلیمتر کا ۵-۲ لفته اند |
| 30.0 | | | کوارنز ریز دانه با اودگی آهن متوسط، زون گسله، برزن سیلیسی |
| 40.0 | | TUFF SAND STONE | کوف سیلیسی خلاک تری حلوی سولید شامل پریت - سولید های کلیپس ای بصورت رچه ها و برآکده در من سنگ می داشد. همراه با کلک پریت. برنت. هتلرت. مگنت |
| 50.0 | | GRANODIORITE | گرانو دوریت واحد کوارنز فلدوبلک، دگرسانی در حد متوسط آنژیلری |

DATE COMPLETED :1386

MINING GEOLOGIST :R.BAGHER ZADEH-M.JAFARI

شکل ۴-۹-لاغینگ گمانه BH^۵

GEOLOGICAL LOG OF BORE HOLE N0.6 IN HASAN ABAD DEPOSIT

| | | |
|---------------|--------|---------------------------|
| INCLINATION : | 20NE | X : 645000 |
| ORIENTATION : | N50W | Y : 3967720 |
| TOTAL DEPTH : | 95.75M | Z : 1435 |
| | | DRILLING COMPANY : KHATAM |
| | | DRILLING METHOD : ROTARY |

| DEPTH (m) | SYMBOL | LITHOLOGY | DESCRIPTION |
|-----------|--------|------------|--|
| 0.0 | | DEBRIS | مجموعه ای از دانه های خرد شده و کوچکی از کوارتز و فلاسیل |
| 10.0 | | GRANITE | گرانیت، آذراس یون منصف ریگه های اکسید آهن تلوری در جهات مخلوط و ظریف، کافی سازی ندارد احتمالاً محل گسل است |
| 15.0 | | SAND STONE | محله سنگ |
| 20.0 | | GRANITE | گرانیت خرد شده با آذراس یون منصف ریگه های اکسید آهن |
| 22.0 | | SAND STONE | تلوری در جهات مخلوط و ظریف، احتمالاً محل گسل است |
| 24.0 | | GRANITE | محله سنگ کربناته و خلکتری رنگ |
| 28.0 | | | گرانیت با خرد شدگی منسط دگرسانی سبک منصف آرژیا قلای کلی سازی نون گسله |
| 35.0 | | | مردن با الودگی آهن حلوی نیوبیت و همراه با ایوت اسنجی با اثر کرب عمده دانه های کوارتز فلاسیل |
| 40.0 | | BRECCIA | گرانیت نزدیکاً سلام و با خرد شدگی منسط بدون آلودگی آهن |
| 50.0 | | GRANITE | |
| 60.0 | | | |
| 70.0 | | | |
| 80.0 | | | |
| 90.0 | | RHYODACITE | درشت بلور های کوارتز فلاسیل در زمینه فلسیک فاردارند |

شکل ۴-۱۰- لاینگ گمانه BH6

گمانه شماره BH7

این گمانه نیز بر روی پروفیل ۱۲۰ و ایستگاه ۲۰۵ ژئوفیزیکی در مختصات ۳۹۶۷۷۳۵ و ۶۴۵۰۰۷ به متراز ۶۹/۵ حفر گردید. از این گمانه جماعتی عدد ۱۸ نمونه آنالیز مربوط به مطالعات پتروگرافی و مینرالوگرافی هم بترتیب تعداد ۸ و ۲ نمونه اخذ گردیده است. نتایج مطالعات و آنالیز در جدول شماره ۱ تا ۴ پیوست آمده است. همچنین نتایج لگینگ در شکل ۱۱-۴ آمده است.

در مقاطع این گمانه نیز دو فاز تشکیل پیریت مشاهده می شود. پیریت نوع اول به شکل کریستالهای اتومورف در اندازه ۵ الی ۱۰۰ میکرون با فراوانی حدود ۵ درصد در متن نمونه پراکنده اند. نوع دوم پیریتهای ژله ای هستند که در فاز بعدی اطراف کریستالهای اتومورف پیریت را فرا گرفته اند. به فراوانی حدود ۱۵ درصد در شکاف موجود در نمونه بصورت رگه نسبتاً پهنی ظاهر دارند. علاوه بر آن تک کریستالهای پیریت اتومورف موجود در متن نمونه نیز توسط این نوع پیریت احاطه شده اند. در برخی نقاط پیریتهای ژله ای در حال عبور از مرحله ژله ای و تبلور به کریستالهای مارکاسیت می باشند. شکستگی برخی از بلورهای اتومورف پیریت نشانده‌ند وجود فشارهای مکانیکی در محیط بعد از تشکیل آن است. کریستالهای باریک و کشیده روتیل به طول ۲ الی ۱۰ میکرون را در جهات سطوح کریستالوگرافی نوعی کانی غیر فلزی اتومورف مشاهده می‌کنیم. علاوه بر آن کریستالهای این کانی حداکثر در اندازه ۳۰ میکرون در متن نمونه پراکنده اند. روتیل کمتر از ۱ درصد سطح مقطع را اشغال کرده است.

گمانه شماره BH8

این گمانه هم بر روی پروفیل ۱۲۰ ایستگاه ۴۰۷ ژئوفیزیکی در مختصات ۳۹۶۷۷۹۲ و ۶۴۵۰۴ به متراز ۱۶۳/۱۵ متر حفر گردید. از این گمانه نیز در مجموع ۸۱ نمونه آنالیز، ۱۲ نمونه پتروگرافی و سه نمونه مینرالوگرافی اخذ گردید که نتایج آنالیز و مطالعات در جداول ۱ تا ۳ پیوست آمده است. نتایج لگینگ مغذه های گمانه در جدول ۱ تا ۳ پیوست و شکل ۱۲-۴ آمده است.

در این گمانه نیز حداکثر عیار طلای مشاهده شده ۲۲۰ ppb و مربوط نمونه شماره ۱۲ می باشد. مطالعه ۳ نمونه مقطع صیقلی اخذ شده از این گمانه وجود کانی های پیریت، کالکوپیریت و کریستالهایی از روتیل را نشان می دهد که تشریح آنها به صورت زیر می باشد.

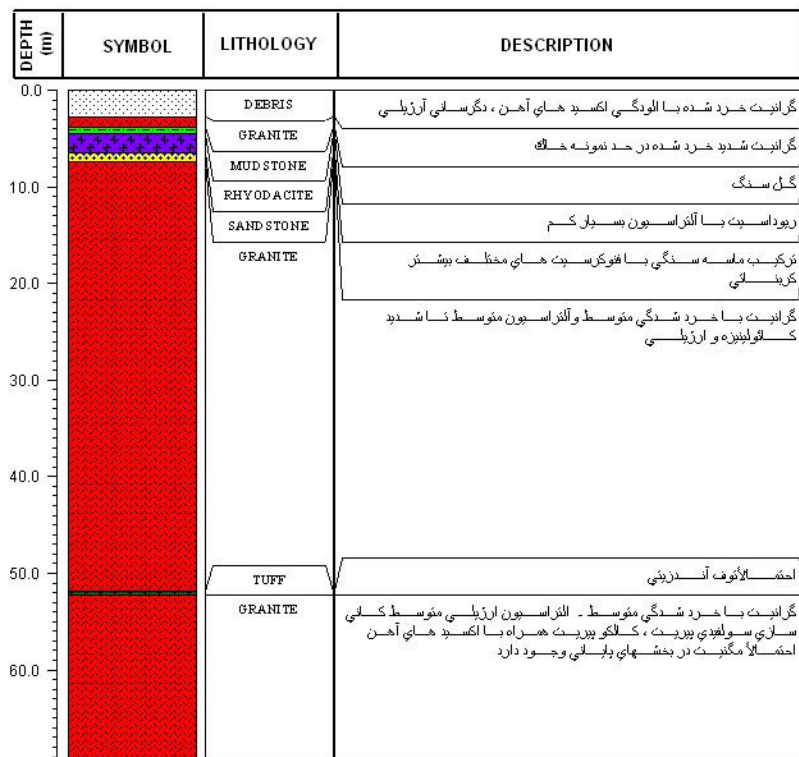
پیریت: به شکل کریستالهای اتومورف، ساب اتومورف و گزنومورف تشکیل شده اند کریستالهای اتومورف در اندازه ۵ الی ۶۰ میکرون و سایر کریستالها در اندازه ای تا حدود ۴۰۰ میکرون در فضاهای خالی سنگ میزبان کانی سازی کرده اند. تجمع کریستالها لکه هایی در حدود نیم سانتیمتر ایجاد کرده است که در نمونه دستی کاملاً قابل روئیت هستند. پیریت حدود ۳ تا ۱۰ درصد سطح مقاطع را فرا گرفته است.

کالکوپیریت: یکی از دو دانه کریستال کالکوپیریت حداکثر در اندازه ۴ میکرون مشاهده میگردد. اکسیدهای آبدار و ثانویه اهن در حفرات سنگ میزبان بصورت لکه های کوچکی مستقر شده اند و به مقدار بسیار کم دیده می شوند.

روتیل: به تعداد انگشت شمار و در اندازه ۲ تا ۱ میکرون در متن نمونه پراکنده اند.

GEOLOGICAL LOG OF BOREHOLE NO.7 IN HASAN ABAD DEPOSIT

| | | | |
|---------------|-------|--------------------|---------|
| INCLINATION : | 20NE | X : | 645007 |
| ORIENTATION : | N50W | COORDINATE Y : | 3967735 |
| TOTAL DEPTH : | 69.5M | Z : | 1438 |
| | | DRILLING COMPANY : | KHATAM |
| | | DRILLING METHOD : | ROTARY |



DATE COMPLETED : 1386

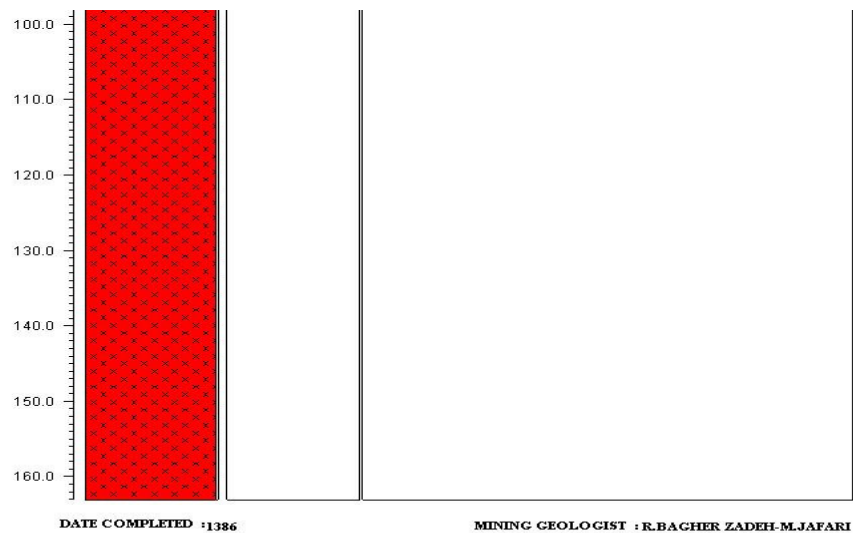
MINING GEOLOGIST : R.BACHER ZADEH-M.JAFARI

شکل ۴-۱۱- BH7- لاگینگ گمانه

GEOLOGICAL LOG OF BORE HOLE N°8 IN HASAN ABAD DEPOSIT

| | | |
|---------------|---------|---------------------------|
| INCLINATION : | 15SW | X : 645045 |
| ORIENTATION: | N50W | COORDINATE Y : 3967792 |
| TOTAL DEPTH : | 163.15M | Z : 1436 |
| | | DRILLING COMPANY : KHATAM |
| | | DRILLING METHOD : ROTARY |

| DEPTH (m) | SYMBOL | LITHOLOGY | DESCRIPTION |
|--------------|--------|--------------|--|
| 0.0 | | DEBRIS | واریزه |
| 10.0 | | GRANITE | سنگ اسیدی خون‌دشده و نکتونیزه دارای فلکلر و لکلر بک غربیه و بلورهای میکروگرانیتی و میزمکت. دارای رگه های کربناتی و سیلیسی |
| 20.0 | | | |
| 30.0 | | RHYODACITE | سنگ رسیدل آکزترم (آرژیتی). تنها آتشل کمی از کلی های اولیه مشاهده می شود |
| 40.0 | | GRANITE | سنگ اسیدی در اندک موامنمعی و در اندازه های اول کلی سلزی سولفیدی صورت رگه هایی طبیعی گویند است. عرضن رگه ها حد اکثر ۳ میلیمتر در متران اول اکسیدهای آهن تابویه دیده میشود |
| 50.0 | | | |
| 60.0 | | | |
| 70.0 | | | |
| 80.0 | | MICRO GRANIT | کلوبی از میکروگرانیت آکزترم شده و کوف اسیدی برشن ولکلری بادگرسانی آرژیتی منوسط بدون کلی سلزی |
| 90.0 | | | |



شکل ۱۲-۴-لگینگ گمانه BH ۸

۴-۳- تهیه نمونه تکراری و تجزیه و تحلیل دقت و صحت داده‌ها برای عناصر مختلف

بطوریکه قبل از ذکر شد نمونه‌ها پس از آماده سازی جهت آنالیز عناصر توسط دستگاه ICP-OES به سازمان زمین‌شناسی و اکتشافات معدنی کشور ارسال گردید. در جدول ۴-۵ عناصر آنالیز شده به همراه حد تشخیص دستگاه برای هر یک آمده است.

جدول ۴-۵- عناصر آنالیز شده به همراه حد تشخیص دستگاه

| Element | Au | Ag | As | Ba | Bi | Cu | Fe | Li | S | Sb | Sn | W |
|-----------|-------|-----|-----|-----|-----|-----|-----|-----|-----|-----|-----|-----|
| Units | ppm | ppm | ppm | ppm | ppm | ppm | ppm | PPM | ppm | ppm | ppm | ppm |
| Detection | ۰.۰۰۱ | ۰.۱ | ۰.۵ | ۰.۲ | ۰.۱ | ۰.۵ | ۱۰۰ | ۰.۵ | ۵۰ | ۰.۱ | ۰.۲ | ۰.۱ |

| Element | Ti | Zn | Fe | Hg |
|-----------|-----|-----|-----|-----|
| Units | ppm | ppm | ppm | ppm |
| Detection | ۱۰ | ۲ | ۱۰۰ | ۱ |

کنترل کیفیت نتایج آزمایشگاهی به منظور استفاده مطلوب از نتایج اندازه‌گیری‌ها، از اهمیت ویژه‌ای برخوردار است. زیرا اولاً میزان اعتماد به داده‌ها را مشخص می‌کند. ثانیاً اگر خطای داده‌ها زیاد باشد و نتوان اندازه‌گیری‌ها را تکرار نمود، بهتر است در تفسیر نتایج دقت بیشتری به عمل آورده شود.

به طور کلی قابلیت اعتماد به داده‌های حاصل از اندازه‌گیری، تابع مقدار خطای تصادفی و سیستماتیک است. خطاهای تصادفی در اثر عوامل خارج از کنترل شخص عمل کننده حاصل می‌گردند و بدین لحاظ وجود آنها (نه بزرگی آنها) اجتناب‌ناپذیر است ولی با به کار گیری دستگاه‌های دقیق و روش‌های مناسب می‌توان مقدار آن را کاهش داد. از ویژگی‌های آماری این نوع خطای این است که جمع جبری آنها حول مقدار میانگین، باید صفر باشد [۸].

خطای سیستماتیک باعث می‌گردد که میانگین مقادیر اندازه‌گیری شده یک کمیت، به اندازه‌ی معین از مقدار حقیقی آن کمتر یا بیشتر شود. باید توجه داشت که منظور از خطا در نمونه‌برداری، خطای سیستماتیک است. زیرا خطای تصادفی صرفاً در اثر تغییرات تصادفی ذاتی ایجاد می‌شود و در هر نوع اندازه‌گیری کم و بیش وجود دارد. صحت یک اندازه‌گیری، معرف نزدیکی مقدار اندازه‌گیری شده به اندازه حقیقی آن است. در واقع صحت یک اندازه‌گیری درجه درستی و صدق مقدار اندازه‌گیری شده را نشان می‌دهد ولی دقต بیان کننده‌ی این است که اندازه‌گیری‌های مختلف تا چه حد به هم نزدیک بوده‌اند [۸].

در پروژه‌های مختلف براساس درجه اهمیت اندازه‌گیری‌ها، حد مجاز صحت و دقت از پیش انتخاب می‌شود و طراحی‌ها براساس آنها صورت می‌گیرد. واضح است که هر چه به دنبال دستیابی به صحت و دقت بیشتری باشیم، باید هزینه بیشتری را پردازیم.

در پروژه‌های اکتشافی اهمیت صحت و دقت اندازه‌گیری‌ها بستگی به مقیاس عملیات نیز دارد. به عنوان مثال در برداشت‌های اکتشافی تا قبل از مرحله تعیین ذخیره، آنچه که بیشتر اهمیت دارد دقت اندازه‌گیری است. زیرا در این مقیاس از عملیات، سنجش‌ها نسبی است نه مطلق و کاهش یا افزایش مقدار ثابتی به همه‌ی داده‌ها در وضعیت نسبی آنها بی‌تأثیر است. و در مرحله‌ی تخمین ذخیره گرچه دقت و صحت هر دو مهم هستند ولی خطر اصلی کاهش صحت است.

برای تعیین دقت آزمایشگاه تعداد ۱۱ عدد نمونه‌ی تکراری انتخاب و به صورت کاملاً محروم‌انه کدگذاری گردید. روش محاسباتی‌ای که در زیر ارائه می‌گردد جهت تعیین خطای نسبی‌این پروژه استفاده گردیده است.

$$e = \frac{2}{n} \sum \left(\frac{|x_i - y_i|}{x_i + y_i} \right)$$

که در این فرمول n تعداد نمونه‌های تکراری و X و Y مقادیر اندازه‌گیری شده در نمونه‌های تکراری متناظر می‌باشد. جدول ۴-۶ نمونه‌های تکراری و کدهای محروم‌انه آن برای تعیین خطای آنالیز را نشان می‌دهد [۸]. به طور کلی حداکثر خطای پذیرفته شده برای هر عنصر در محدوده عیاری کمتر از ۱۰ برابر حد حساسیت، ۵٪ و در محدوده عیاری بیش از ۱۰ برابر حد حساسیت، ۲۰٪ می‌باشد. جدول ۴-۷ نتایج حاصل از محاسبات خطای نشان

می‌دهد. وجود خطابهای برخی عناصر بدان معناست که تحلیل‌های صورت پذیرفته بر مبنای این عناصر در نمونه‌های مورد تجزیه و تحلیل با خطابهای بوده و بایستی با احتیاط با آنها برخورد کرد[۷].

جدول ۴-۶- نمونه‌های تکراری و کدهای مجرمانه آن برای تعیین خطای آنالیز

| Row | Sample No. | Duplicate No. |
|-----|------------|---------------|
| ۱ | ۸۶/BH۱/۲۰ | ۸۶/HA/۱ |
| ۲ | ۸۶/BH۱/۳۳ | ۸۶/HA/۲ |
| ۳ | ۸۶/BH۷/۱۵ | ۸۶/HA/۳ |
| ۴ | ۸۶/BH۴/۸۴۶ | ۸۶/HA/۴ |
| ۵ | ۸۶/BH۳/۲۳ | ۸۶/HA/۵ |
| ۶ | ۸۶/BH۳/۲۱ | ۸۶/HA/۶ |
| ۷ | ۸۶/BH۳/۱۳ | ۸۶/HA/۷ |
| ۸ | ۸۶/BH۳/۱۹ | ۸۶/HA/۸ |
| ۹ | ۸۶/BH۳/۱۰ | ۸۶/HA/۱۰ |
| ۱۰ | ۸۶/BH۲/۴۰ | ۸۶/HA/۱۱ |
| ۱۱ | ۸۶/BH۲/۴۳ | ۸۶/HA/۱۲ |

جدول ۴-۷- خطای نسبی آنالیز

| Element | Au | Ag | As | Ba | Bi | Cu | Hg | Li |
|---------|-------|-------|-------|-------|-----|--------|-----|-------|
| Unit | ppb | ppm | ppm | ppm | ppm | ppm | ppm | ppm |
| eror% | ۶۴.۸۷ | ۷۸.۶۳ | ۶۰.۷۰ | ۴۲.۴۴ | * | ۱۳۳.۵۱ | * | ۴۵.۳۶ |

| Element | Ti | W | Zn | Fe | Rb | S | Sb | Sn |
|---------|-------|-------|-------|-------|-------|-------|-------|--------|
| Unit | ppm | ppm | ppm | % | ppm | ppm | ppm | ppm |
| eror% | ۴۰.۲۵ | ۵۸.۸۹ | ۶۸.۶۹ | ۳۰.۳۰ | ۸۱.۵۵ | ۶۴.۰۹ | ۲۵.۶۳ | ۱۲۷.۸۲ |

علاوه بر محاسبه خطای نسبی؛ از آزمون ستیودنت- t نیز بهره گرفته شد. آزمون t از تقسیم تفاوت بین میانگین های نمونه برآورده از انحراف معیار توزیع اختلافها (که به عنوان خطای معیار اختلاف یا standard error of difference شناخته می شود) به دست می آید.

$$(\overline{X_1} \geq \overline{X_2})$$

$$t_c = \frac{\overline{X_1} - \overline{X_2}}{\sqrt{\frac{Var(x_1)}{N} + \frac{Var(x_2)}{N}}}$$

اگر واریانس‌های نمونه دارای مقادیر مشابه باشد، معمولاً با برآورد ترکیبی (pooled estimate) واریانس ثابت جامعه کار می شود. اما اگر واریانس ها برابر نباشند از برآورد ترکیبی استفاده نمی شود و یک آزمون با واریانس جداگانه (separate variance) انجام می شود با مقایسه t بدست آمده و مقدار استخراج شده از جداول استاندارد در سطح اعتماد معین (٪۹۵) معنی دار بودن یا بی معنی بودن خطای آنالیز مشخص می گردد. مقدار دقیق t که جیت معنی دار شدن لازم است به درجه آزادی (degrees of freedom) توزیع بستگی دارد که خود آن به حجم نمونه در مطالعه وابسته است. در این پژوهه معمولاً اگر قدر مطلق تأبیب یا بزرگتر از ۱.۸۱۲ باشد، وجود خطای سیستماتیک (فرضیه H_1) در آنالیز محرز است. مگر اینکه حجم نمونه خیلی کوچک باشد. در هر حال باید از نمونه های خیلی کوچک پرهیز نمود، زیرا آزمون مورد نظر توان لازم جیت رد کردن خطای تصادفی (فرضیه H_0) را نخواهد داشت. (توان یا power یک آزمون آماری احتمال رد کردن H_0 است به شرطی که صحیح نباشد). مدل آزمون t این فرض را می کند که داده ها از توزیع های نرمال با واریانس برابر به دست آمده اند. شبیه سازی های رایانه ای نشان داده است که حتی اگر این فرضها تا حدودی مخدوش شده باشند کما کان می توان با اطمینان از آزمون t استفاده نمود، به شرط آنکه حجم نمونه خیلی کم نباشد و دارای مقادیر پرت نبوده و حجم نمونه ها با هم برابر باشد (یاتقریباً برابر باشد) اگر بررسی اولیه داده ها بیانگر آن باشد که فرضهای مدل آزمون t به شدت مختلف است [۸ و ۹].

جدول ۴-۸- انجام آزمون t برای نمونه های تکراری

Paired Samples Test

| | Paired Differences | | | | | t | df | Sig. (2-tail ed) | | | |
|-----------|--------------------|-------------------|-----------------------|---|----------|--------|----|------------------------|--|--|--|
| | Mean | Std. Deviation | Std. Error Mean | 95% Confidence Interval of the Difference | | | | | | | |
| | | | | Lower | Upper | | | | | | |
| AU1 - AU2 | 17.8409 | 156.0 | 47.0281 | -86.94 | 122.626 | .379 | 10 | .712 | | | |
| AG1 - AG2 | .1300 | .1407 | 4.2E-02 | 4.E-02 | .2245 | 3.064 | 10 | .012 | | | |
| AS1 - AS2 | -383.309 | 367.3 | 110.75 | -630.1 | -136.55 | -3.461 | 10 | .006 | | | |
| BA1 - BA2 | -70.4091 | 249.2 | 75.1356 | -237.8 | 97.0034 | -.937 | 10 | .371 | | | |
| CU1 - CU2 | -45.4545 | 31.44 | 9.4797 | -66.58 | -24.3325 | -4.795 | 10 | .001 | | | |
| HG1 - HG2 | 1.0050 | .7849 | .5550 | -6.0469 | 8.0569 | 1.811 | 1 | .321 | | | |
| LI1 - LI2 | -7.3455 | 16.47 | 4.9644 | -18.41 | 3.7160 | -1.480 | 10 | .170 | | | |
| RB1 - RB2 | -35.9818 | 65.37 | 19.7096 | -79.90 | 7.9339 | -1.826 | 10 | .093 | | | |
| S1 - S2 | -7808.46 | 4342 | 1309.1 | -10725 | -4891.6 | -5.965 | 10 | .000 | | | |
| SB1 - SB2 | 13.3455 | 46.50 | 14.0199 | -17.89 | 44.5836 | .952 | 10 | .364 | | | |
| SN1 - SN2 | -2.3364 | 2.4557 | .7404 | -3.9861 | -.6866 | -3.155 | 10 | .010 | | | |
| TI1 - TI2 | -747.900 | 629.9 | 189.93 | -1171 | -324.70 | -3.938 | 10 | .003 | | | |
| W1 - W2 | 5.45E-02 | 1.1076 | .3339 | -.6895 | .7986 | .163 | 10 | .874 | | | |
| ZN1 - ZN2 | -27.3909 | 165.8 | 50.0034 | -138.8 | 84.0237 | -.548 | 10 | .596 | | | |
| FE1 - FE2 | -8.2E-02 | 1.5715 | .4738 | -1.1376 | .9739 | -.173 | 10 | .866 | | | |

با توجه به جداول (۴ و ۷) می توان چنین بیان نمود که برای عناصر طلا، باریم، آنتیموان

تنگستن، روی، آهن، ریبیدیم، و لیتیم خطای معنی دار بوده، ولی با توجه به این خطاهای به نظر می رسد که دقیق آنالیز

بسیار پایین می باشد و در تفسیر و استفاده از این داده ها می بایست با احتیاط برخورد گردد

۴-۴- محاسبه ضرایب همبستگی

ضرایب همبستگی طبق تعریف عبارت است از سنجشی از شدت وابستگی بین دو متغیر اندازه گیری شده در یک

مجموعه از داده های منفرد. پارامترهای آماری ضرایب همبستگی برای داشتن معیاری از همبستگی دو متغیر بدون
وابستگی به واحد اندازه گیری داده ها، تعریف شده اند.

برای داشتن درک صحیحی از چگونگی توزیع عناصر مختلف در یک ناحیه نیازمند در اختیار داشتن پارامترهایی
هستیم که بتوانند نوع و ارتباط آنها را تشریح کند با تغییر چنین پارامترهایی، امکان یافتن ارتباط ژنتیکی میان عناصر
فراهرم خواهد شد. در محاسبه ضریب همبستگی نیز مانند بسیاری از پارامترهای آماری فرض نرمال بودن داده ها

الزامی است. در شرایطی که این فرض برقرار نباشد، می‌توان داده‌ها را طوری تبدیل کرد تا توزیع آنها حالت نرمال به خود گیرد. البته در این گونه موارد تعبیر و تفسیر همبستگی متغیرها باید با دقت همراه باشد. بالاخره در حالتی که توزیع داده‌ها نرمال نباشد و نتوان داده‌ها را تبدیل کرد برای محاسبه ضرایب همبستگی می‌توان از روش ناپارامتری که به توزیع داده‌ها حساس نمی‌باشد، استفاده کرد. در این پژوهه از هر دو روش بهره گرفته شده است و تفسیر نهایی با ادغام هر دو ارائه می‌گردد. در حقیقت برای داده‌های نزدیک به نرمال از روش ضرایب همبستگی پرسون (Pearson) استفاده شده است. جدول ۴-۹ نشان دهنده ضرایب همبستگی پرسون می‌باشد.

در اینجا ضرایب همبستگی نمونه (۲) تخمینی از ضرایب همبستگی کل جمعیت است. یعنی همبستگی‌ای که در کل جمعیت (که از آن یک نمونه برداشت شده) وجود دارد. مقدار ۲ از ۱-تا ۱+ تغییر می‌کند. در واقع وقتی $1 = +$ است، تطابق و رابطه‌ی خطی کاملی بین دو عنصر است و وقتی که $1 = -$ است، ناسازگاری کامل بین دو عنصر وجود دارد و اگر $0 =$ باشد، هیچگونه رابطه‌ای بین دو عنصر وجود ندارد. نتایج زیر از این روش قابل استنتاج است:

براساس جدول ۴-۹ طلا همبستگی ضعیفی با جیوه از خود نشان می‌دهد آنتیموان و جیوه نیز با مس همین رابطه را دارند. آرسنیک هم با جیوه و گوگرد همبستگی نسبتاً خوبی دارد.

بیسموت با عناصر Fe, Rb و عنصر تنگستن و تیتانیم نیز با Fe همبستگی قوی نشان می‌دهد. همچنین قلع با تیتان و تنگستن همبستگی متوسطی را نشان می‌دهد.

جدول ۴-۹: ضرایب همبستگی پیرسون برای داده های گمانه های اکتشافی

| Correlations | | | | | | | | | | | | | | | | |
|------------------------|--------|---------|--------|---------|--------|--------|---------|---------|--------|--------|---------|-------|--------|--------|--------|-------|
| | AG | AS | BA | BI | CU | ZN | HG | AU | LI | RB | S | SB | SN | TI | W | FE |
| AG Pearson Correlation | 1.000 | -.043 | | | ** | | | | | | | | | | * | |
| AS Pearson Correlation | -.043 | 1.000 | ** | | | | ** | | | | ** | | * | ** | ** | |
| BA Pearson Correlation | .025 | .267** | 1.0 | | * | ** | | | | ** | * | | * | ** | | ** |
| BI Pearson Correlation | -.070 | -.080 | .0 | 1.000 | | ** | ** | | | ** | | | | | ** | ** |
| CU Pearson Correlation | .230** | -.027 | -.1* | -.155 | 1.000 | | * | | ** | | ** | ** | | ** | | ** |
| ZN Pearson Correlation | -.026 | .094 | .165** | .373** | -.016 | 1.000 | | | ** | ** | * | | ** | ** | ** | ** |
| HG Pearson Correlation | -.001 | .527** | .077 | -.291** | .197* | .105 | 1.000 | ** | ** | | ** | | * | ** | | |
| AU Pearson Correlation | .097 | .036 | .030 | -.019 | .012 | .042 | .276** | 1.000 | | | | | | ** | | |
| LI Pearson Correlation | -.030 | .007 | .051 | .117 | .171** | .460** | .276** | .082 | 1.000 | ** | | | ** | ** | ** | ** |
| RB Pearson Correlation | .060 | -.083 | .223** | .555** | .070 | .340** | -.136 | -.021 | .348** | 1.00 | | | | ** | ** | ** |
| S Pearson Correlation | -.056 | .602** | .126* | -.032 | .168** | .119* | .426** | .027 | .021 | -.020 | 1.000 | | | ** | ** | |
| SB Pearson Correlation | -.009 | -.026 | -.1 | .067 | .336** | -.041 | -.001 | .108 | -.014 | .077 | -.044 | 1.000 | | | | |
| SN Pearson Correlation | -.025 | .135* | .129* | -.143 | .040 | .294** | .117 | .044 | .286** | -.007 | .063 | -.067 | 1.000 | ** | ** | |
| TI Pearson Correlation | -.043 | -.233** | -.2** | -.041 | .235** | .167** | -.166* | -.173** | .174** | .188** | -.022 | -.006 | .197** | 1.000 | ** | ** |
| W Pearson Correlation | .122* | -.201** | .000 | .790** | .002 | .415** | -.291** | -.046 | .295** | .511** | -.190** | .027 | .185** | .219** | 1.00 | ** |
| FE Pearson Correlation | .091 | .023 | -.1** | .610** | .266** | .308** | .018 | -.084 | .363** | .591** | .149** | .011 | .088 | .306** | .510** | 1.000 |

**. Correlation is significant at the 0.01 level (2-tailed).

*. Correlation is significant at the 0.05 level (2-tailed).

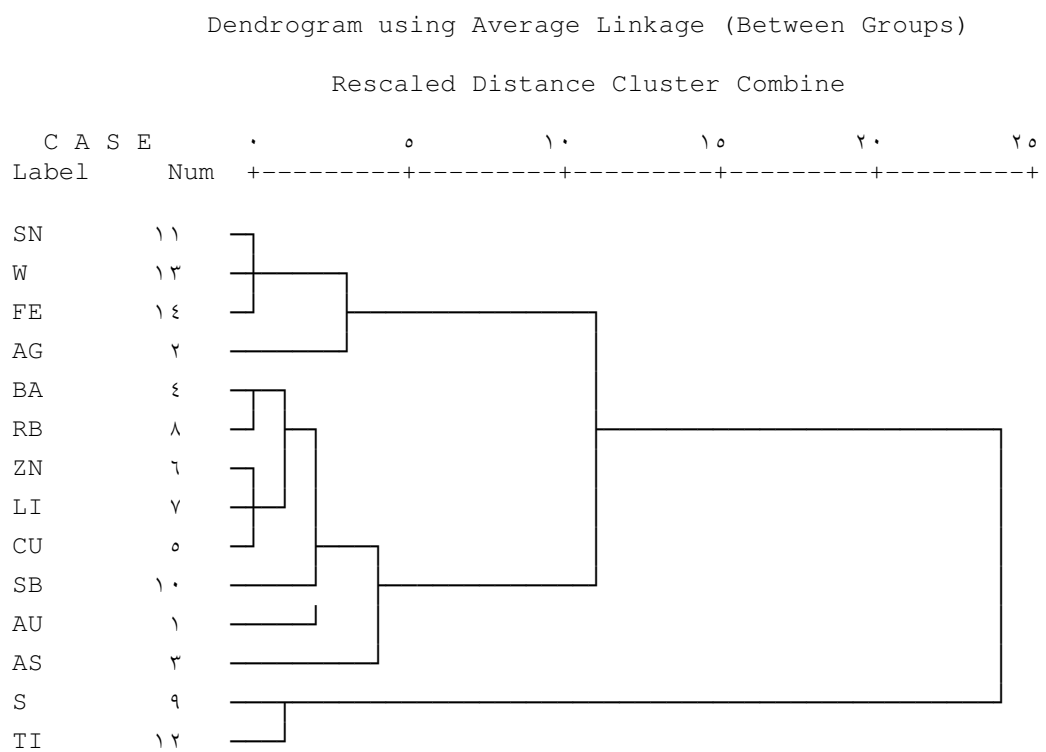
۴-۵-آنالیز خوشه‌ای

در تحلیل خوشه‌ای هدف دست یافتن به ملاکی جهت طبقه‌بندی هر چه مناسب‌تر متغیرها و یا نمونه‌ها براساس حداقل تشابه درون گروهی و اختلاف هر چه بیشتر بین گروهی است. این خصوصیت کمک می‌کند تا بتوان متغیرها و نمونه‌ها را به صورت خوشه‌ای که بیشترین تشابه ممکن را درون خود و حداقل اختلاف را بین خود دارند، طبقه‌بندی نمود. همان‌گونه که فاصله دو نمونه یا دو متغیر می‌تواند ملاک تشابه قرار گیرد، ضریب همبستگی بین دو متغیر نیز می‌تواند ملاک تشابه رفتاری آنها باشد.

روش به کار گرفته شده در این پژوهه روش آنالیز خوشه‌ای با متد سنتروئید می‌باشد.

براساس نمودار خوشه‌ای (تصویر ۴-۱۵)، می‌توان روابط ذیل را از این آنالیز به دست آورد.

سه گروه مهم عنصری قابل تفکیک می‌باشند. عناصر (قلع- تنگستان - آهن) در گروه اول قرار گرفته که نقره نیز با همبستگی کمتری با این گروه ارتباط ژنتیکی نشان می‌دهد. (باریم - ریبدیم) گروه دوم و (لیتیم- روی - مس) نیز در گروه سوم قرار می‌گیرند. دو گروه دیگر (طلاء- انتیموان) و (گوگرد- تیتان) نیز ارتباط ژنتیکی نسبت به سه گروه قبل دارند.



شکل ۴-۱۵- نمودار آنالیز خوشه‌ای